

**GEOLOGICAL SURVEY OF CANADA**

DEPARTMENT OF ENERGY, MINES AND RESOURCES, OTTAWA

**MISCELLANEOUS REPORT 19**

79-720

(814)

79-721

This document was produced  
by scanning the original publication.

Ce document est le produit d'une  
numérisation par balayage  
de la publication originale.

**FOCUS  
ON  
CANADIAN LANDSCAPES**

**REGARDS  
SUR LES  
PAYSAGES CANADIENS**

R. G. BLACKADAR  
L. E. VINCENT





**GEOLOGICAL SURVEY OF CANADA**

DEPARTMENT OF ENERGY, MINES AND RESOURCES, OTTAWA

**MISCELLANEOUS REPORT 19**

**FOCUS  
ON  
CANADIAN LANDSCAPES**

**REGARDS  
SUR LES  
PAYSAGES CANADIENS**

R. G. BLACKADAR

L. E. VINCENT



© Minister of Supply and Services Canada 1976

© Ministre des Approvisionnements et Services Canada 1976

Available by mail from

En vente par la poste:

Printing and Publishing  
Supply and Services Canada,  
Ottawa, Canada K1A 0S9

Imprimerie et Édition  
Approvisionnement et Services Canada,  
Ottawa, Canada K1A 0S9

and at Canadian Government Bookstores:

et dans les Librairies du gouvernement du Canada:

HALIFAX  
1683 Barrington Street

HALIFAX  
1683, rue Barrington

MONTREAL  
640 St. Catherine Street West

MONTRÉAL  
640 ouest, rue Ste-Catherine

OTTAWA  
171 Slater Street

OTTAWA  
171, rue Slater

TORONTO  
221 Yonge Street

TORONTO  
221, rue Yonge

WINNIPEG  
393 Portage Avenue

WINNIPEG  
393, avenue Portage

VANCOUVER  
800 Granville Street

VANCOUVER  
800, rue Granville

or through your bookseller

ou chez votre libraire.

Catalogue No.M41-8-19 Price: Canada: \$6.00  
Other countries: \$7.20

N° de catalogue M41-8-19 Prix: Canada: \$6.00  
Autres pays: \$7.20

Price subject to change without notice

Prix sujet à changement sans avis préalable

First printing 1973  
Reprinted 1976

1<sup>re</sup> impression 1973  
Réimpression 1976



## FOREWORD

Officers of the Geological Survey of Canada have been engaged in the task of studying, interpreting and explaining the geology of Canada for 130 years. For the first two decades pen-and-ink sketches were used to record field features and some of these were later engraved and used to illustrate the early "Reports of Progress".

Photography was first used in 1860 by James Richardson, an officer of the Geological Survey who was then examining the north shore of the Gulf of St. Lawrence and the island of Newfoundland. However, because of the time-consuming photographic processes then in use it was not until the 1870s that photography became a common supplement to field observations.

In the past 100 years an extensive collection of photographs has been built up reflecting many aspects of Canada, especially the nature of the land and frontier life. The value of this collection to the nation is obvious and the older negatives now form part of the Public Archives.

This report comprises a selection of photographs designed to illustrate common landforms and the principal physiographic regions of our country. Some date from the 1870s, others from the 1970s. The collection is not presented as an example of high artistic attainment but as a working collection. The inclusion of older photographs is not only of historic interest but is of current value as changes due to erosion or changing land use can readily be recognized.

The authors hope that this report will be of value and interest to the general public and especially to those engaged in the teaching of the earth sciences in Canada.

## AVANT-PROPOS

Décrire, interpréter et expliquer la géologie du Canada, tel a toujours été, depuis cent trente ans, le premier objet de la Commission géologique. Au cours des vingt premières années, les géologues chargés des levés de terrain devaient se contenter de faire des croquis à la plume pour décrire les phénomènes qu'ils observaient; d'ailleurs un certain nombre de ces esquisses ont été gravées et ont servi à illustrer les premiers comptes rendus.

C'est en 1860 que la photographie a été appliquée à la recherche géologique pour la première fois au Canada: James Richardson l'a utilisée au cours de ses travaux sur la côte nord du golfe Saint-Laurent et dans l'île de Terre-Neuve. Mais, comme à cette époque, il fallait beaucoup de temps pour tirer les épreuves photographiques, ce n'est pas avant 1870 que cette technique s'est révélée pratique pour les géologues.

Depuis une centaine d'années, on a rassemblé en collection un grand nombre de ces clichés. Ce document photographique projette un regard sur plusieurs aspects du Canada, notamment la nature des paysages et les fronts pionniers. La petite collection que nous présentons montre des paysages types et les principales régions physiographiques qui caractérisent notre pays. L'éventail de ces photographies évoque un siècle de recherches géologiques.

Une mise au point s'impose: ce n'est pas le seul intérêt artistique qui a guidé notre choix, mais bien l'utilité de ces reproductions comme documents de référence pour l'étude des sciences de la terre. En outre, conscientes de leur importance certaine, c'est à juste titre que les Archives publiques du Canada en ont conservé les originaux.

Nous avons inséré ici quelques-unes de ces anciennes photographies afin de comparer dans le temps la modification des paysages sous l'effet de l'érosion et de l'utilisation du sol par l'homme.

Les auteurs espèrent que cette collection intéressera un vaste public, mais elle s'adresse surtout à ceux qui ont pour mission d'enseigner les sciences de la terre.



## **Table of Contents / Table des matières**

- 1 Appalachian Region / Région des Appalaches
- 25 St. Lawrence and Hudson Bay Lowlands / Basses-terres du Saint-Laurent et de la baie d'Hudson
- 41 Canadian Shield / Le Bouclier canadien
- 71 Arctic Region / Région de l'Arctique
- 113 Interior Plains / Plaines Intérieures
- 133 Cordilleran Region / Région de la Cordillère
- 175 Index



**APPALACHIAN REGION**  

---

**RÉGION DES APPALACHES**





95

Topsail Head, Newfoundland in 1874.

---

Topsail Head, Terre-Neuve. Cette photo date de 1874.





108185

Syncline in Middle and Upper Cambrian slate and siltstone; east shore, Trinity Bay, Newfoundland.

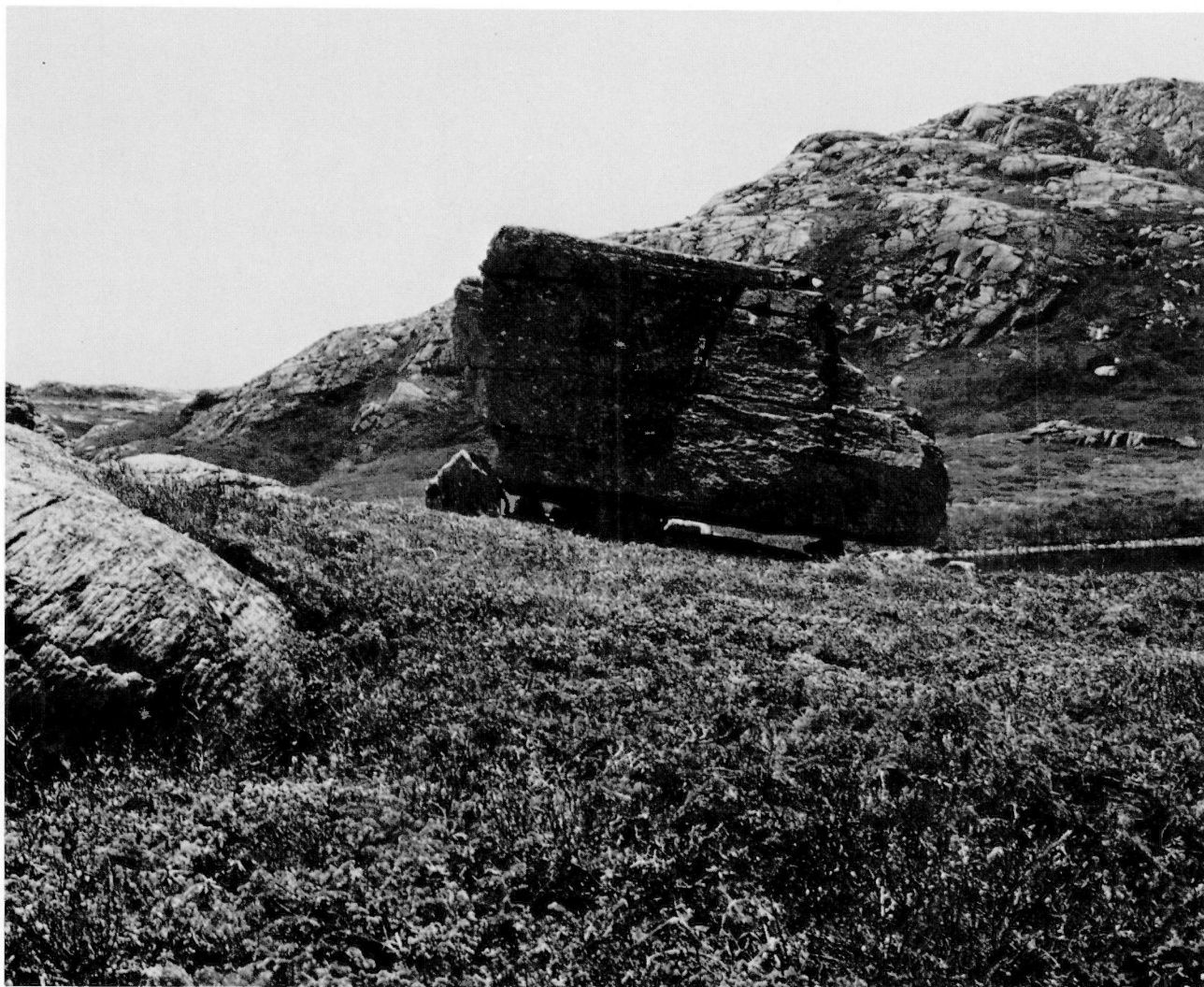
Synclinal formé dans des ardoises et des siltstones du Cambrien moyen et supérieur, côte est de la baie de la Trinité (T.-N.).



116163

Jointing in late Precambrian arkose; Signal Hill Formation; Flat Rock, Newfoundland.

Joints dans de l'arkose de la formation de Signal Hill, fin du Précambrien, Flat Rock (T.-N.).

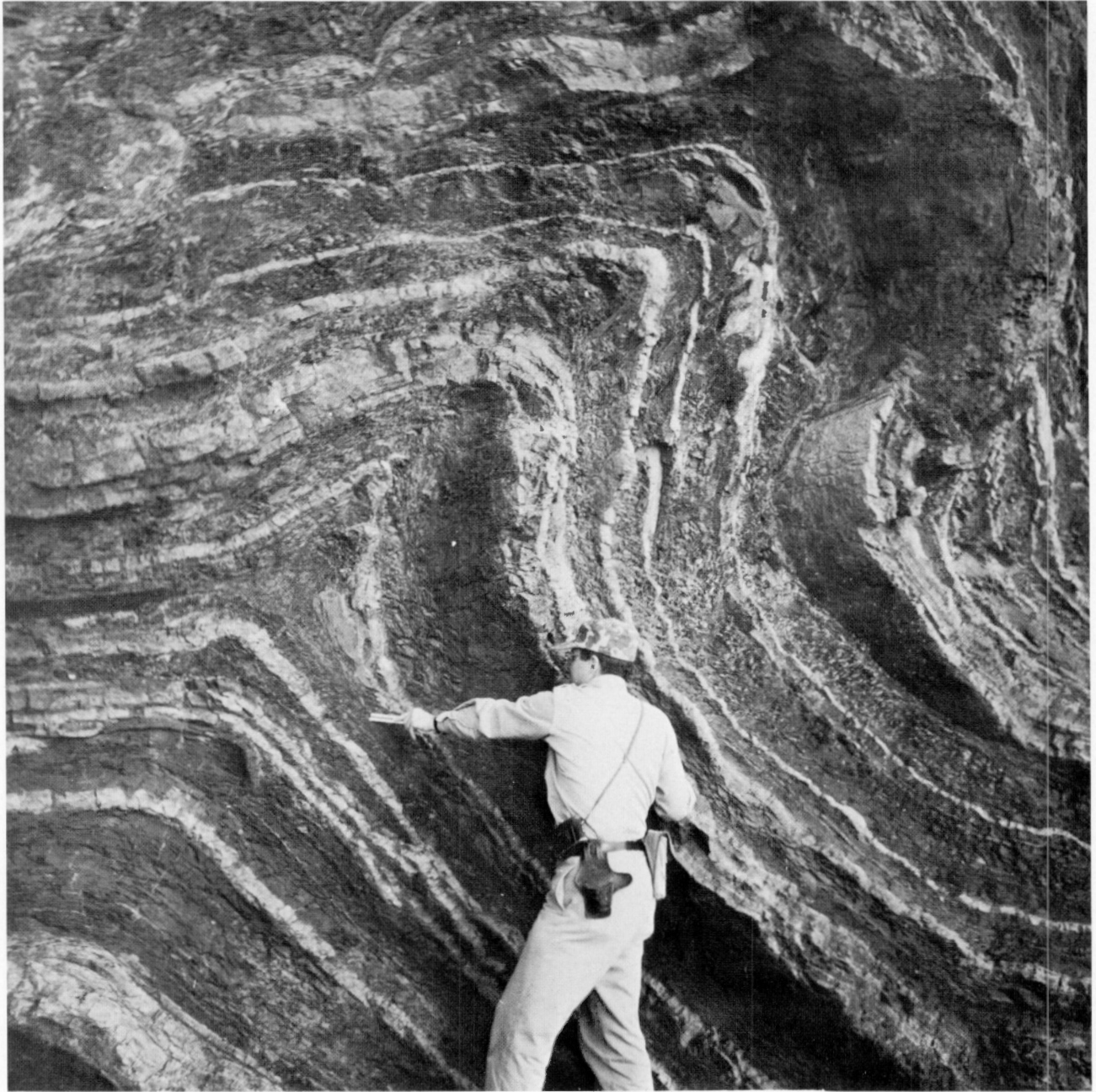


119145

Glacial erratic; Grand Bruit; southwestern Newfoundland.

Bloc erratique, région de Grand Bruit, sud-ouest de Terre-Neuve.





120431

Décollement in shales of Humber Arm Group; Newfoundland.

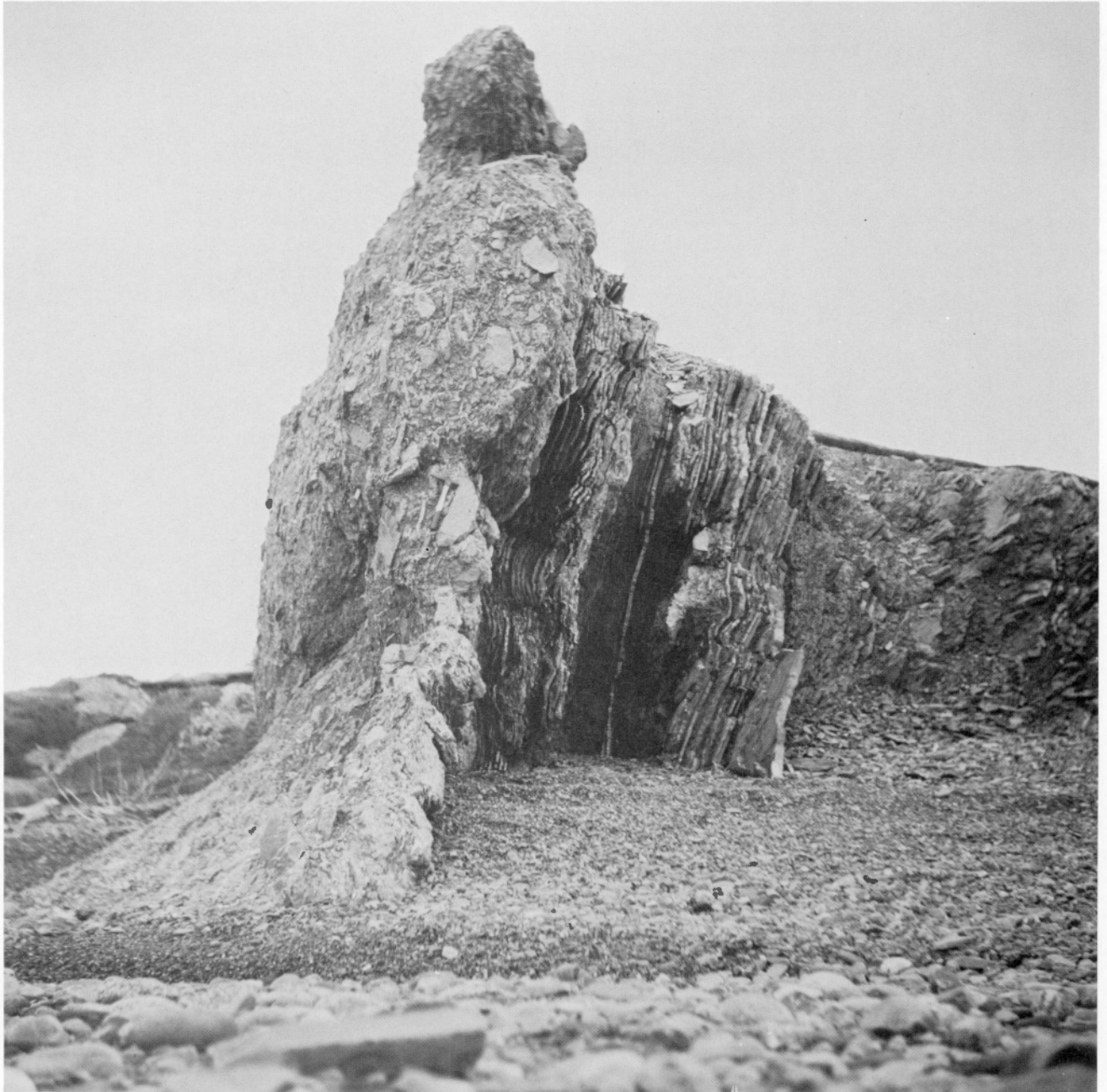
Décollement dans des schistes argileux du groupe d'Humber Arm (T.-N.).



120439

Joints in sandstones of Carboniferous age; western Newfoundland.

Joints dans des grès du Carbonifère, partie ouest de Terre-Neuve.



123583

Limestone breccia interbedded with shale and limestone; Lower Ordovician Broom Point Group; Broom Point, Newfoundland.

Brèches à ciment calcaire lardées de schiste argileux et de calcaire, groupe de Broom Point de l'Ordovicien inférieur, pointe Broom (T.-N.).



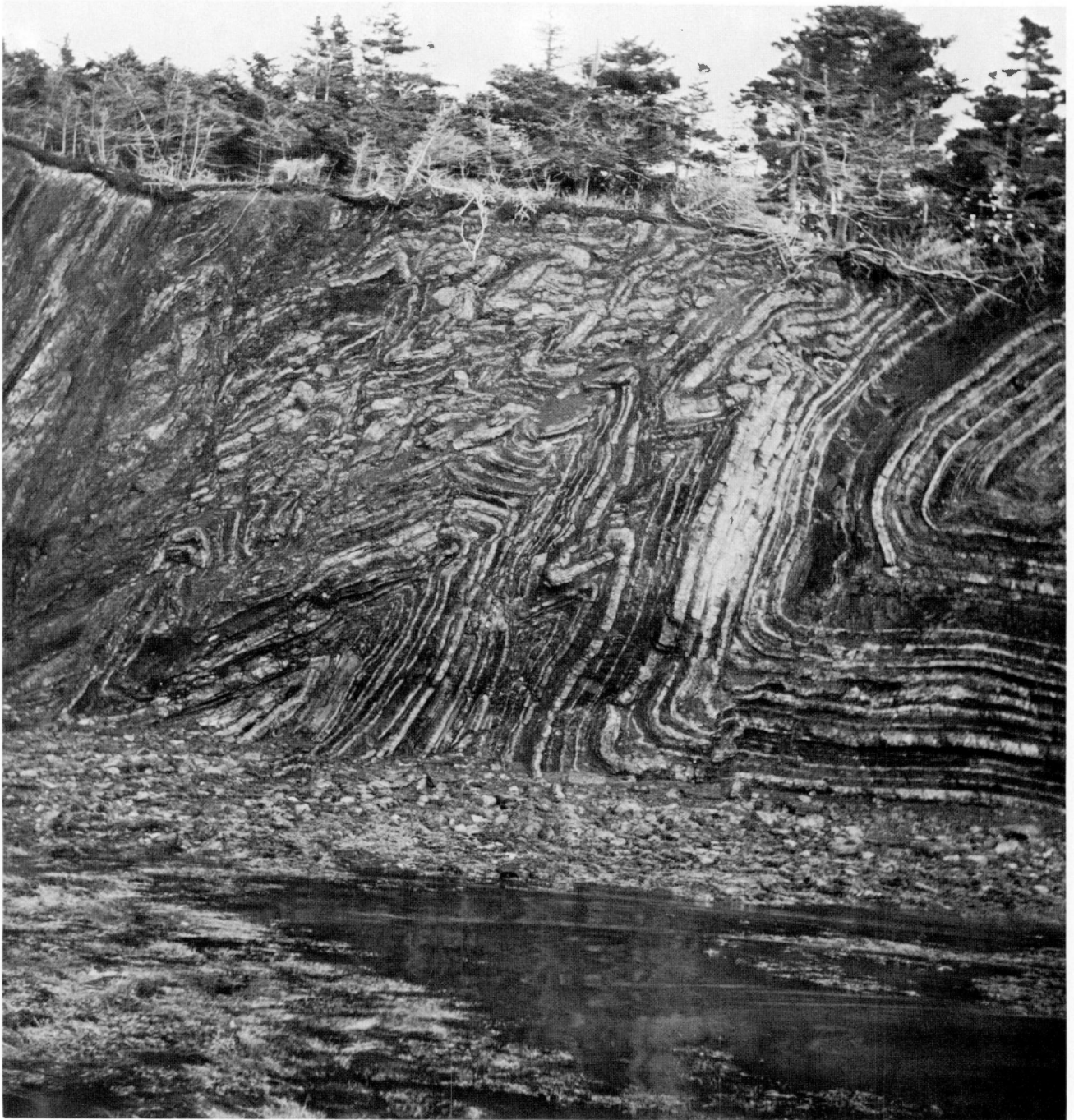


152581

Pillow lava of Middle Cambrian age; Trinity Bay, Newfoundland.

Laves en forme de coussins passablement aplatis du Cambrien moyen, baie de la Trinité, (T.-N.).

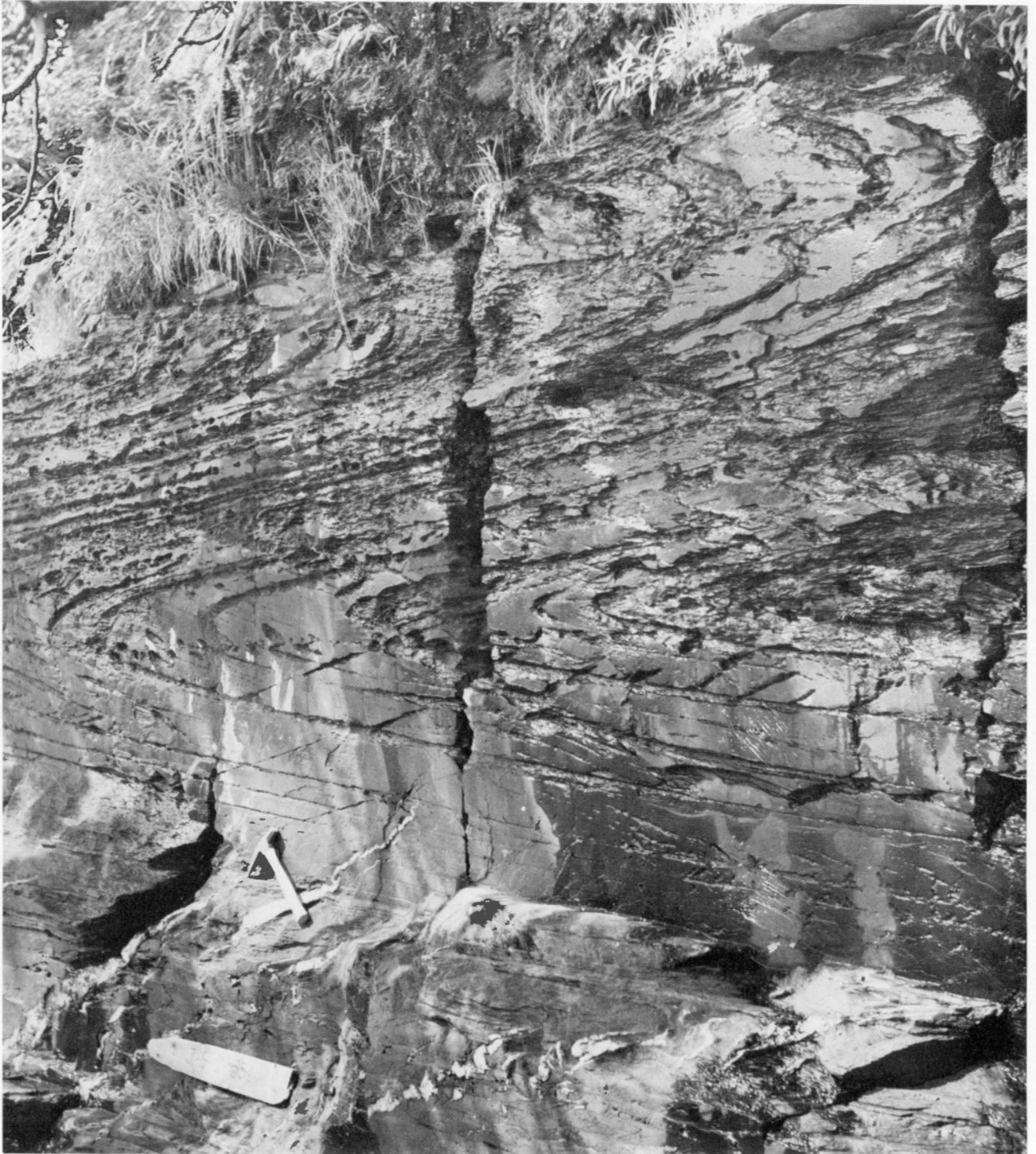




153816

Contorted shale beds of Ordovician age (Humber Arm Group). The folding probably occurred during the Taconian orogeny; Port au Port, Newfoundland.

Lits contournés de schistes argileux du groupe d'Humber Arm de l'Ordovicien. Les plis ont probablement été formés au cours de la phase tectonique du Taconien, Port-au-Port (T.-N.).



154575

Recumbent folds in slate and phyllite of the Ordovician Baie d'Espoir Group. Folding took place during the Acadian orogeny (350-390 million years ago); Bay d'Espoir, Newfoundland.

Plis couchés constitués d'ardoise et de phyllite du groupe de Baie d'Espoir de l'Ordovicien formés au cours de la phase tectonique de l'Acadien (350 à 390 millions d'années), baie d'Espoir (T.-N.).

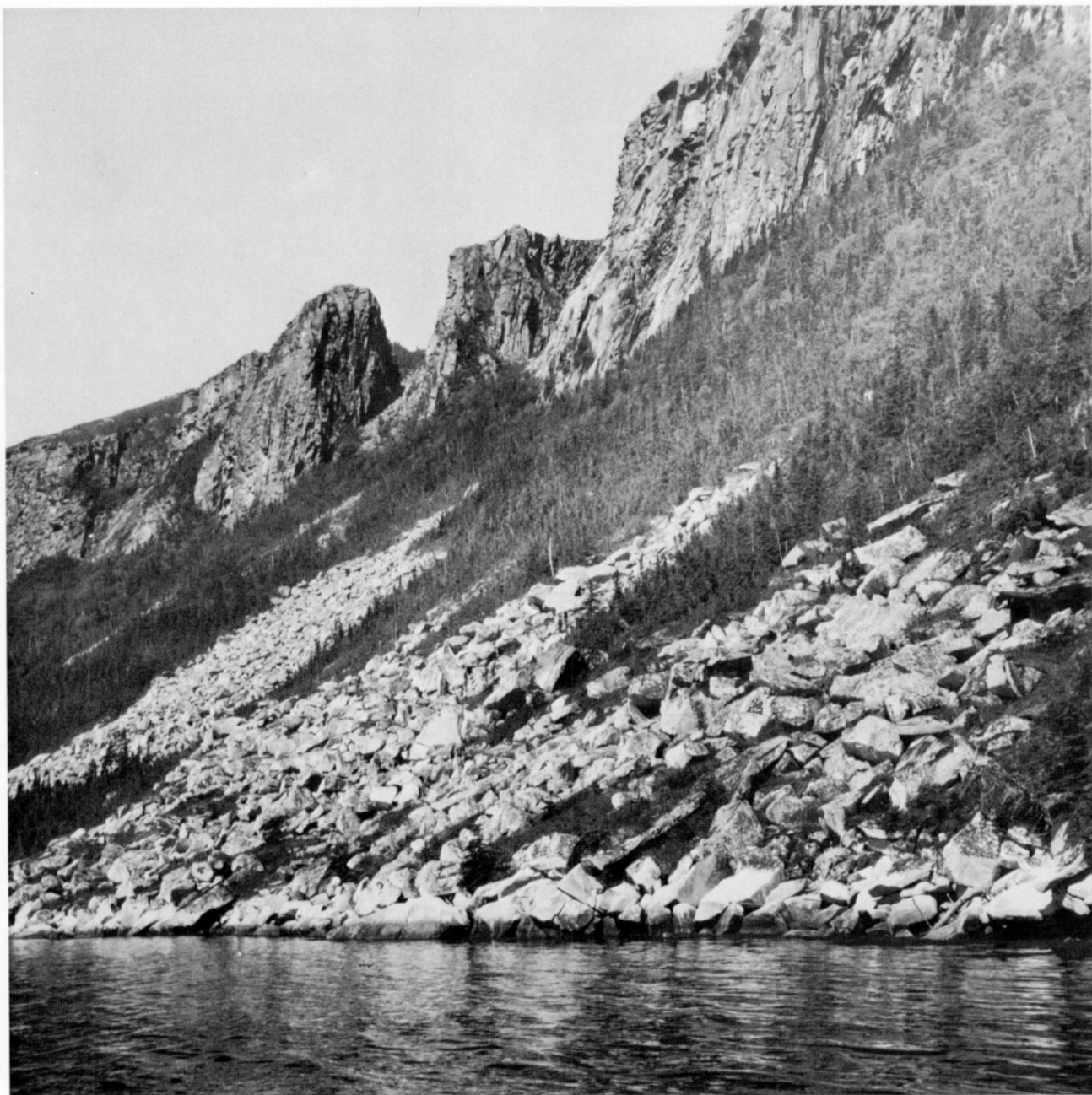


201898

Belleoram, Newfoundland, showing the coastal scenery of the south coast developed on a granitic terrane.

Vue sur un paysage côtier formé de roches granitiques; photo prise de Belleoram (T.-N.).





201899

Rockfalls from cliffs of Devonian granite; steep cliffs near mouth of Bay d'Espoir, Newfoundland.

Talus d'éboulis au pied d'un abrupt formé de roches granitiques du Dévonien, baie d'Espoir (T.-N.).



201900

Rugged coast of southern Newfoundland; steep, rounded hills of Devonian or older granite with settlement of Richard's Harbour nestled at sea level; east of Hermitage Bay.

Côte accidentée à collines arrondies et à pentes raides formées de granite du Dévonien ou plus âgé; remarquer l'emplacement du village de pêcheurs sur le replat entre le pied des collines et la mer. Richard's Harbour, à l'est de la baie de l'Hermitage (T.-N.).

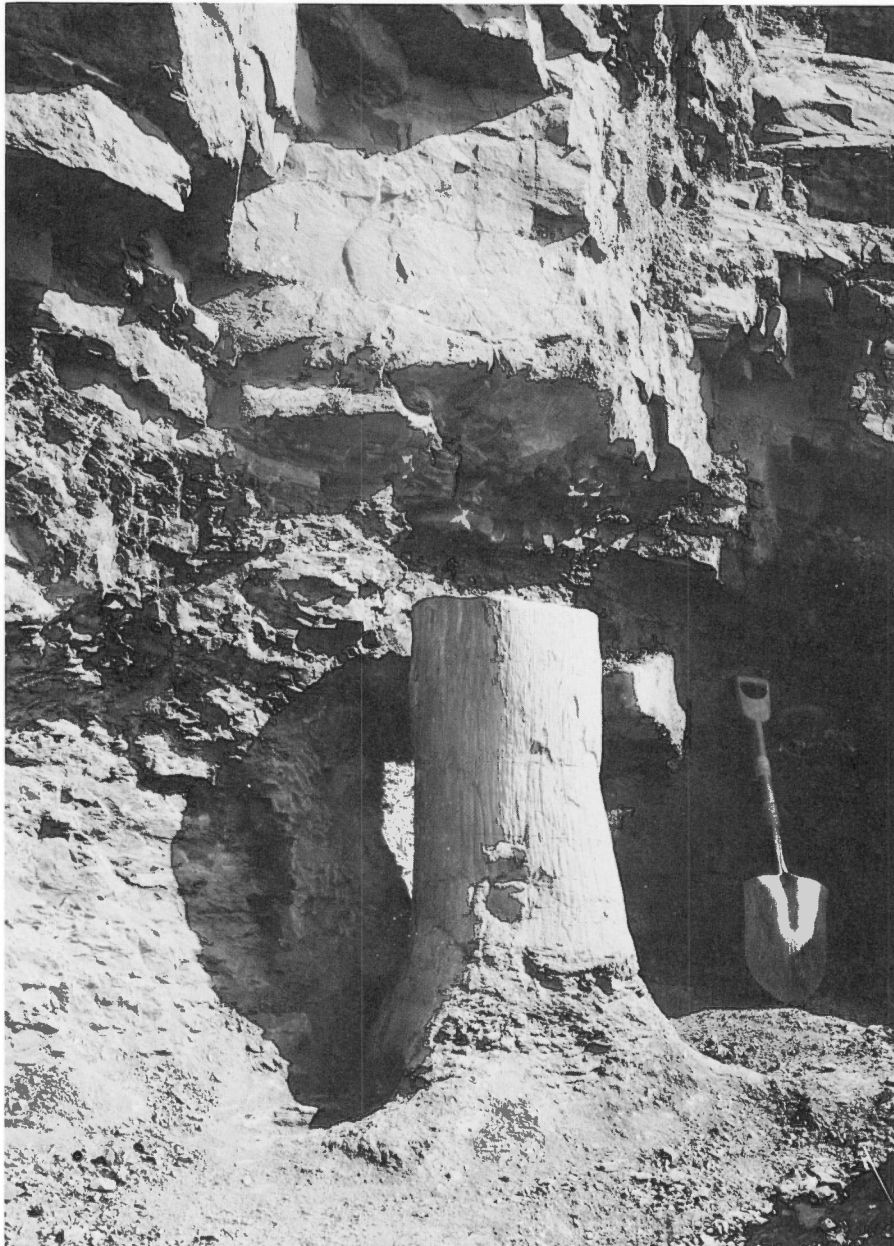




37750

Marine erosion: arches and stacks; the islands of Cape Split, Nova Scotia seen at high tide in 1916.

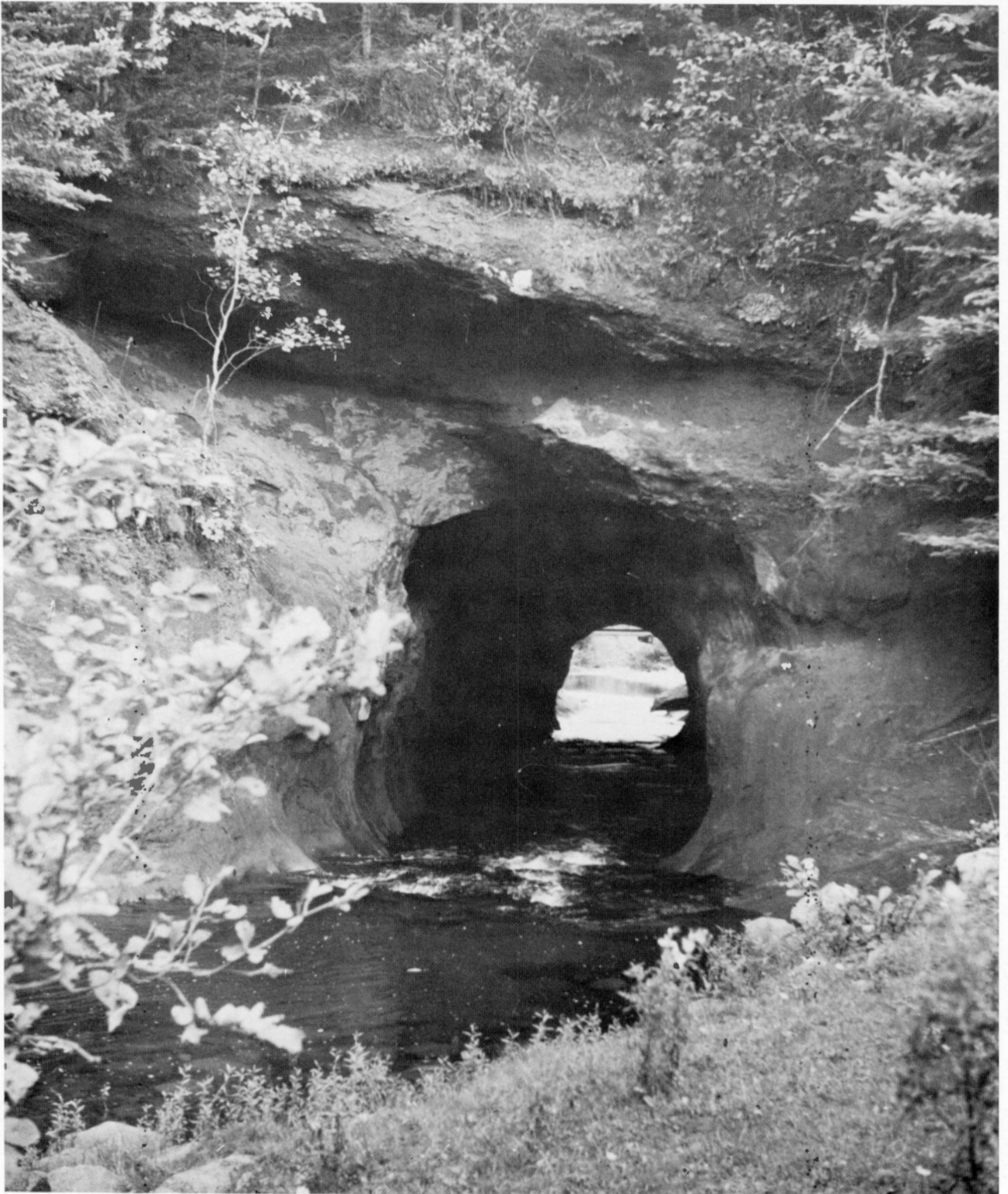
Arche sculptée par l'action puissante de l'érosion marine. Photo prise au moment de la marée haute; elle date de 1916, cap Split (N.-É.).



55957

Fossil stump of the tree *Sigillaria* from Carboniferous beds near Coal Point, Cape Breton Island.

Tronc fossile *sigillaria* dans des couches du Carbonifère, près de la pointe Coal, île du Cap-Breton (N.-É.).



84951

Natural tunnel cut through Triassic sandstone; McElmon Brook near Turo, Nova Scotia.

Tunnel naturel creusé dans des grès du Trias, ruisseau McElmon près de Truro (N.-É.).

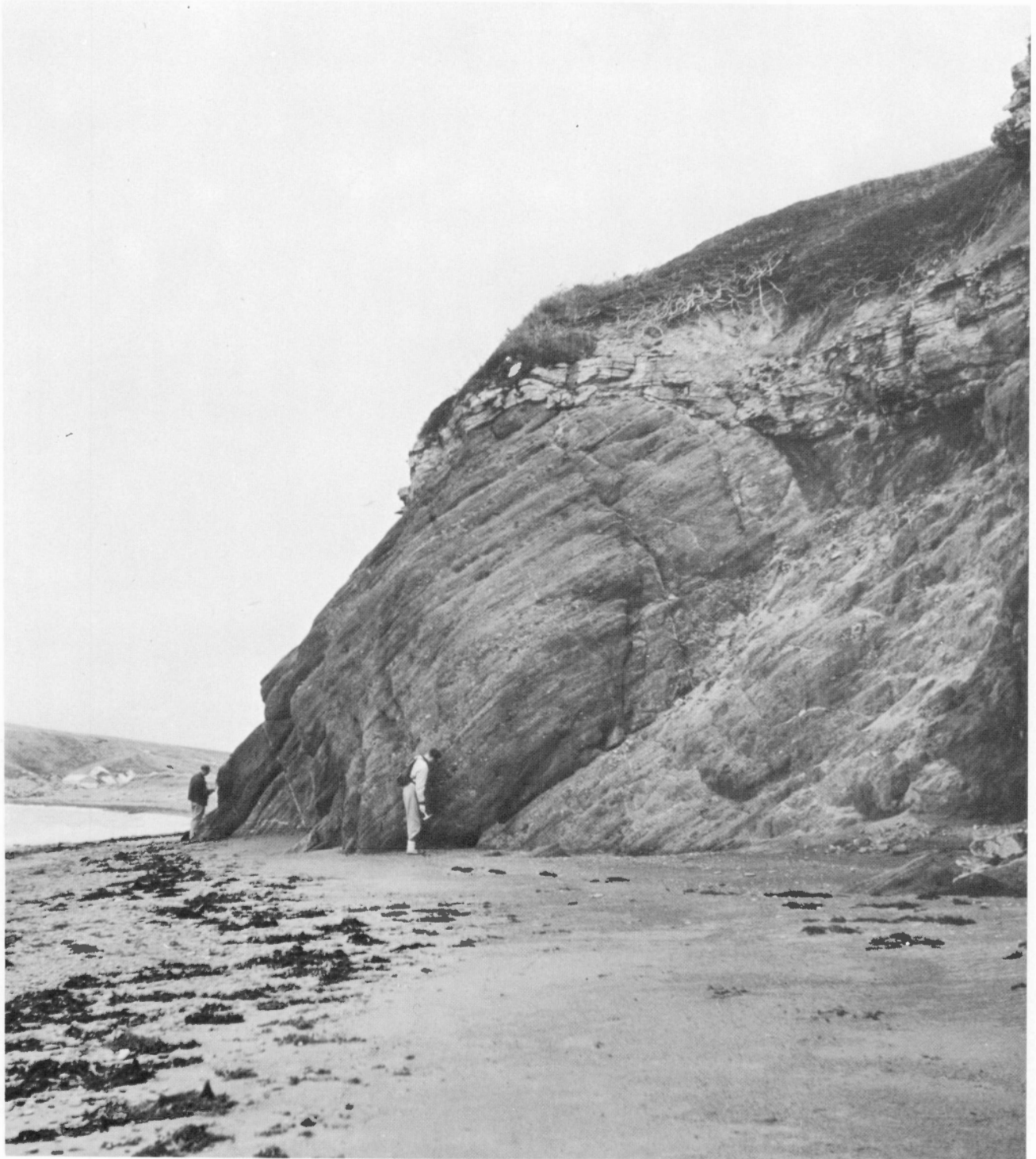


154794

Sea shore and cliffs in Upper Triassic rocks, Cape Blomidon, Nova Scotia.

Plage et falaise formées de roches du Trias supérieur, cap Blomidon (N.-É.).

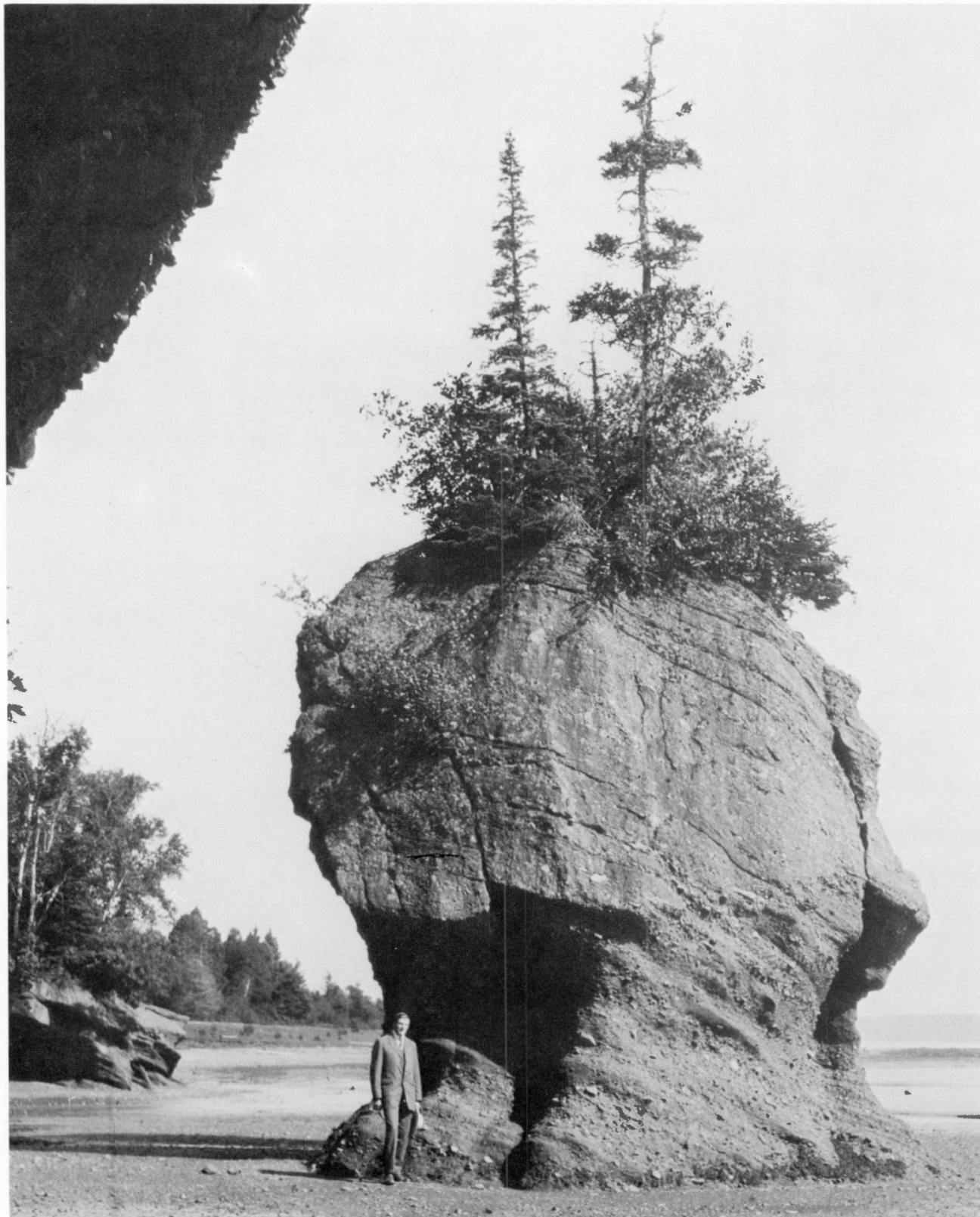




200354E

Angular unconformity between conglomerate and conglomeratic sandstone (Horton Group) and overlying limestone (Windsor Group); Antigonish-Mabou Basin, Nova Scotia.

Discordance angulaire entre les conglomérats et les grès conglomératiques du groupe de Horton et la couche calcaire sus-jacente du groupe de Windsor, bassin Antigonish-Mabou (N.-É.).



69520

The Sphinx, an erosional remnant of Carboniferous rocks, Hopewell, New Brunswick.

Pilier formé de roches du Carbonifère, coiffé d'une végétation arborescente. Cette forme due à l'effet de l'érosion est connue dans la région de Hopewell sous le nom de «Sphinx», Hopewell (N.-B.).

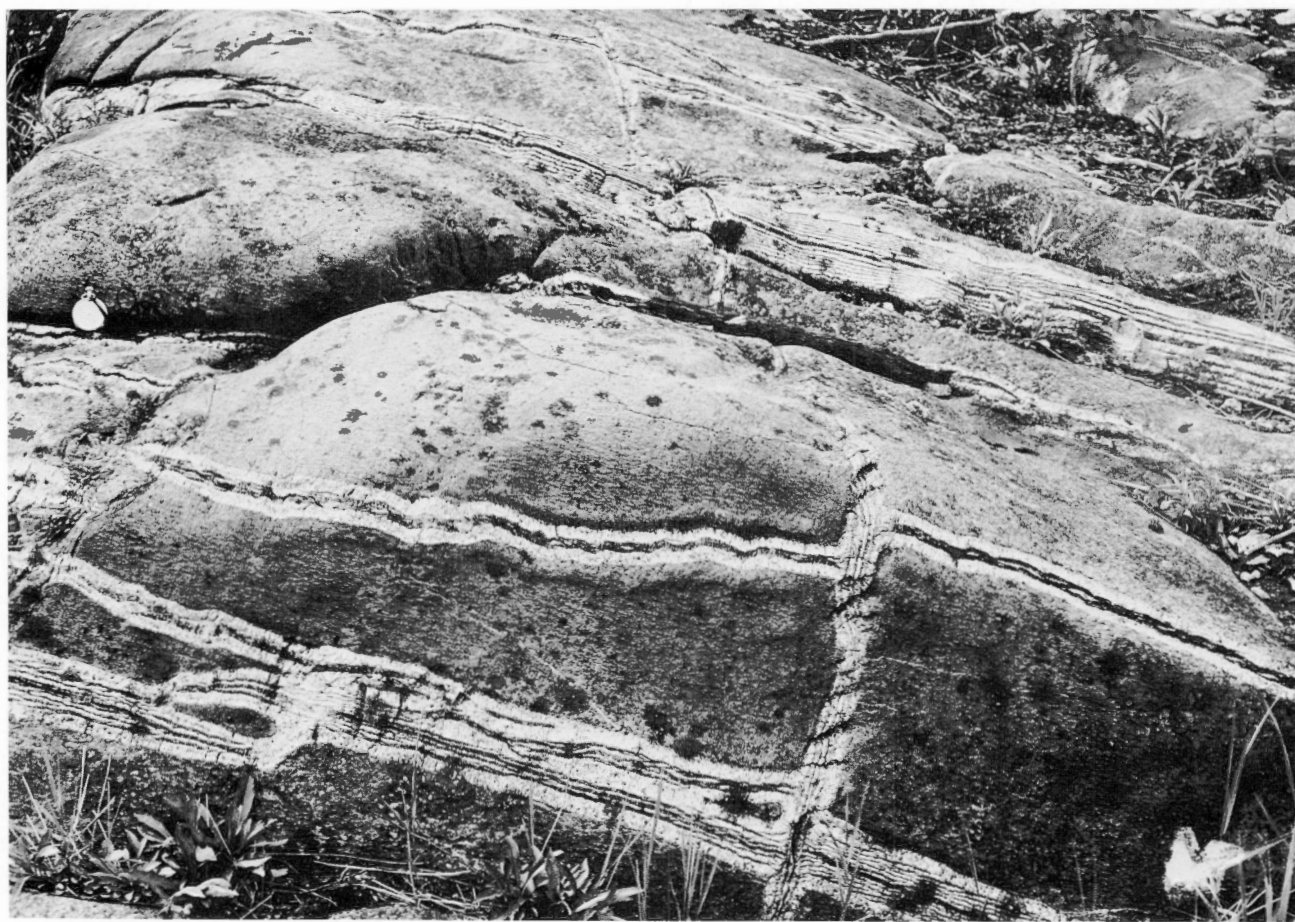


98550

Cliffs in Triassic basalt showing columnar jointing; Grand Manan Island, New Brunswick.

Escarpeement formé de basaltes prismatiques du Trias, Île Grand-Manan (N.-B.).





50074

Asbestos veins in serpentine zones that cut peridotite; Vimy Ridge Mine, Coleraine, Quebec.

Filons d'amiante dans une zone de serpentine, celle-ci se trouve incrustée dans un stock de péridotite, mine Vimy Ridge, Coleraine (Québec).



51473

Percé Rock and Bonaventure Island; Gaspé Peninsula, Quebec.

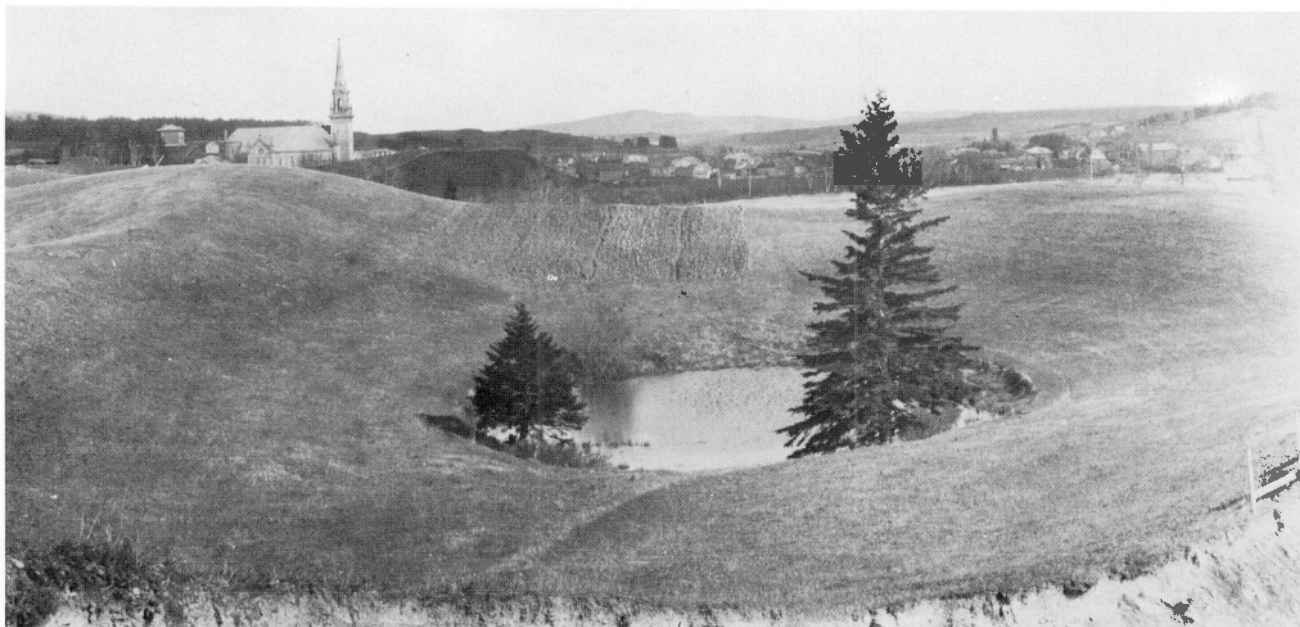
Vue sur le rocher Percé et l'île Bonaventure, Percé (Québec).

**ST. LAWRENCE AND HUDSON BAY LOWLANDS**  

---

**BASSES-TERRES DU SAINT-LAURENT ET DE LA BAIE D'HUDSON**





72822

Kettle at Amqui, Quebec. View southeast down Matapédia Valley.

Kettle occupé par une mare; en arrière plan, vue sur le village d'Amqui, situé dans la vallée de la Matapédia (Québec).





154724

Canyon cut in Silurian Chicotte crinoidal limestone; mouth of Chicotte River, Anticosti Island.

Canyon creusé dans les calcaires à crinoïdes de la formation de Chicotte d'âge silurien. Embouchure de la rivière Chicotte, île d'Anticosti (Québec).



158942

Canyon cut in Ordovician Vauréal Limestones; north-central Anticosti Island; fire swept this area in 1960.

---

Canyon creusé dans les calcaires de la formation de Vauréal d'âge ordovicien; cette région a été ravagée par le feu en 1960. Centre-nord de l'île d'Anticosti (Québec).



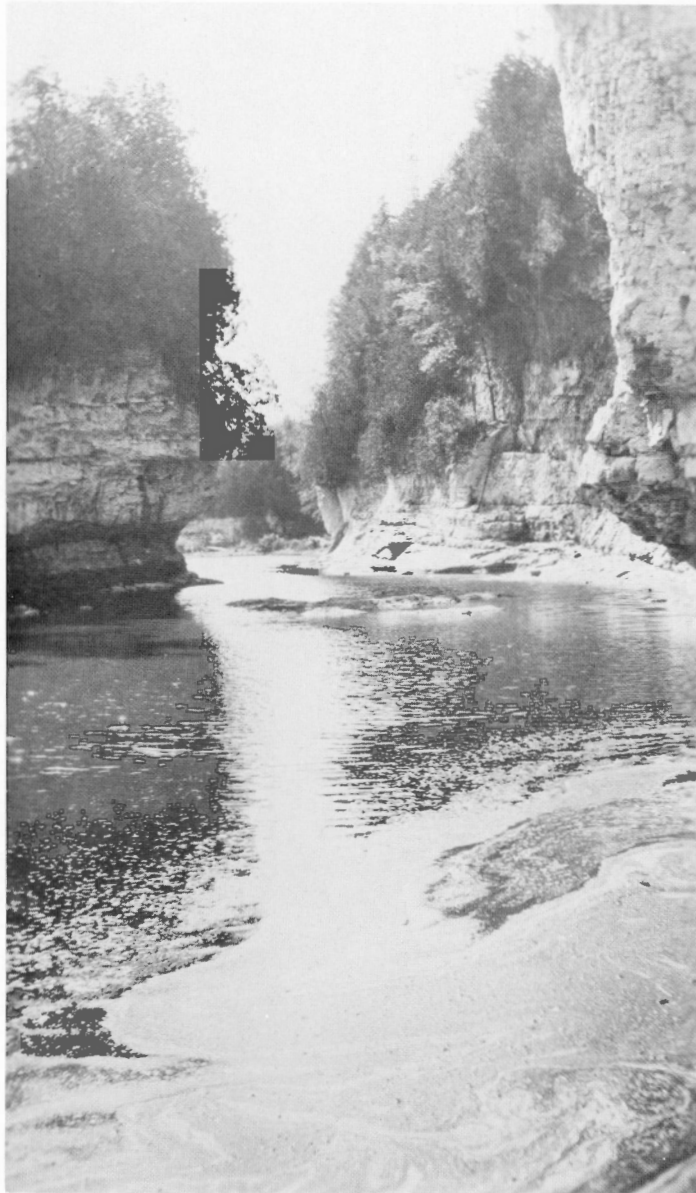
201669



201681

Landslide at Saint-Jean-Vianney, Quebec, May 1971. This disaster which took about 30 lives and caused the loss of many homes resulted from failure and seepage in Pleistocene clays.

Glissement de terrain à Saint-Jean-Vianney, Québec, mai 1971. On croit qu'au moins trente personnes ont trouvé la mort dans ce sinistre et que quarante-deux habitations ont été emportées. Ce mouvement de masse a eu lieu à cause du manque de drainage dans des argiles marines du Pléistocène.

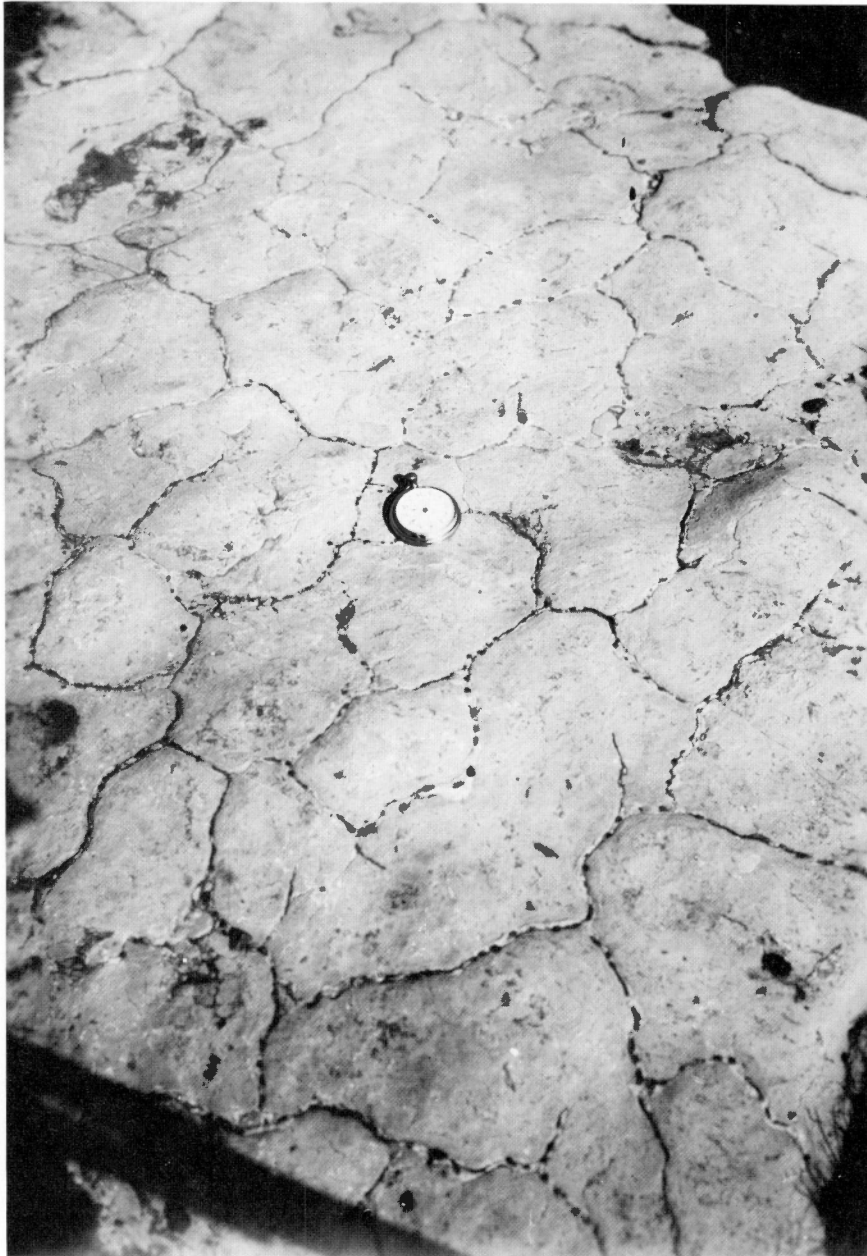


29557

Gorge in dolomites of Guelph Formation (Silurian), Grand River below Elora, Ontario.

Canyon creusé dans de la dolomie d'âge silurien de la formation de Guelph, Grande Rivière en aval d'Elora (Ont.).





49723

Mudcracks of Ordovician age in basal Black River limestone, Madoc, Ontario.

Fentes de dessiccation d'âge ordovicien dans des calcaires argileux de la formation de base de Black River, Madoc (Ont.).





67213

Limestone pavement, Ontario.

Champ pavé de roches calcaires (Ont.).



84284

Erosional remnants or flowerpots of Paleozoic limestone; Flowerpot Island, Georgian Bay Islands National Park, Ontario.

Piliers littoraux «flowerpots» sculptés dans des calcaires du Paléozoïque. Parc national des Îles-de-la-Baie-Georgienne, Ile Flowerpot (Ont.).

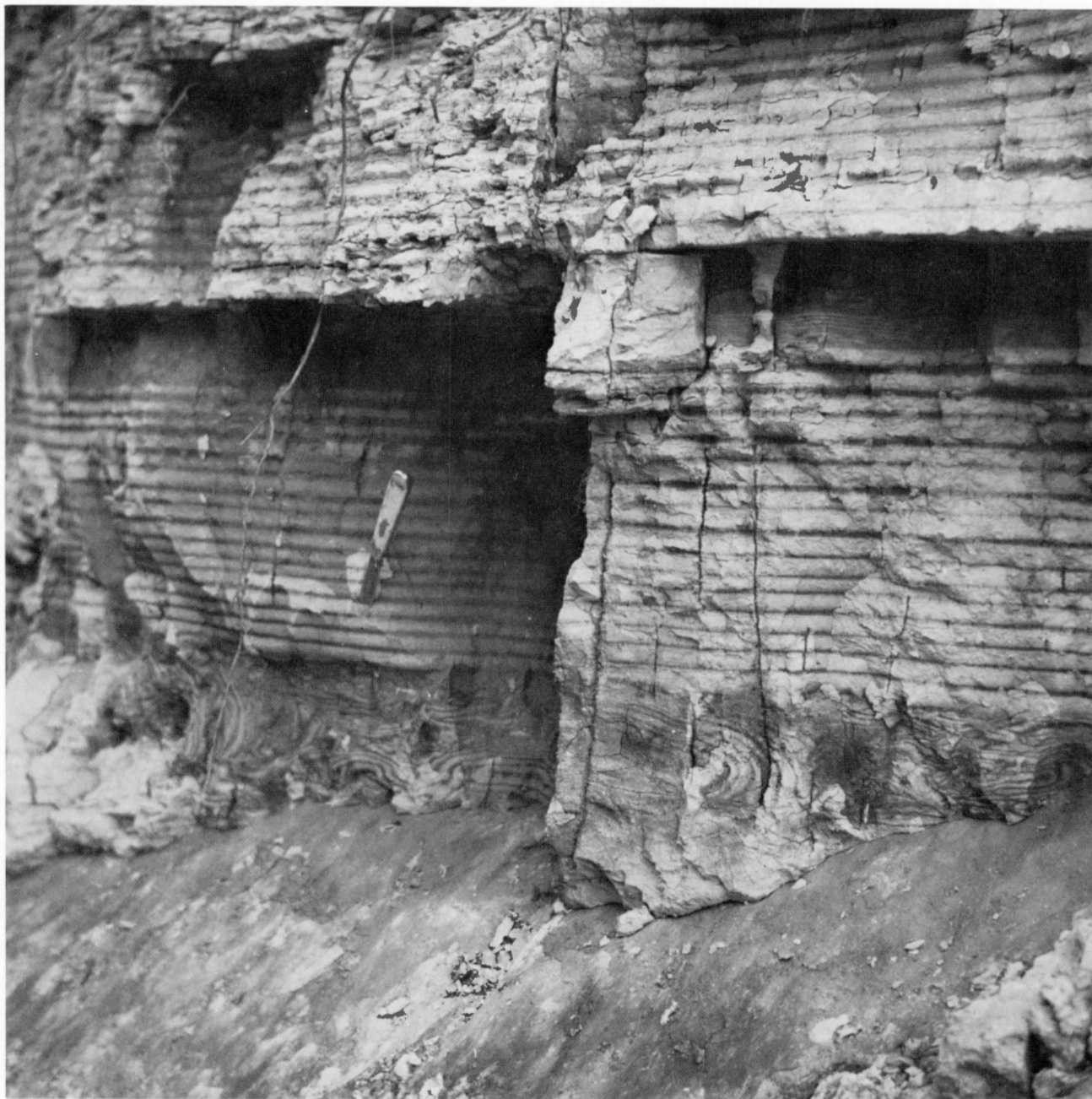


92274

Modern mudcracks.

Fentes récentes de dessiccation sur terrain argileux.





119242

Varved clays from Glacial Lake Barlow-Ojibway; near Kirkland Lake, Ontario.

Varves dans des argiles du lac glaciaire Barlow-Ojibway, région de Kirkland Lake, (Ont.).





126704

Cuesta in Ordovician limestones; Manitoulin Island, Ontario.

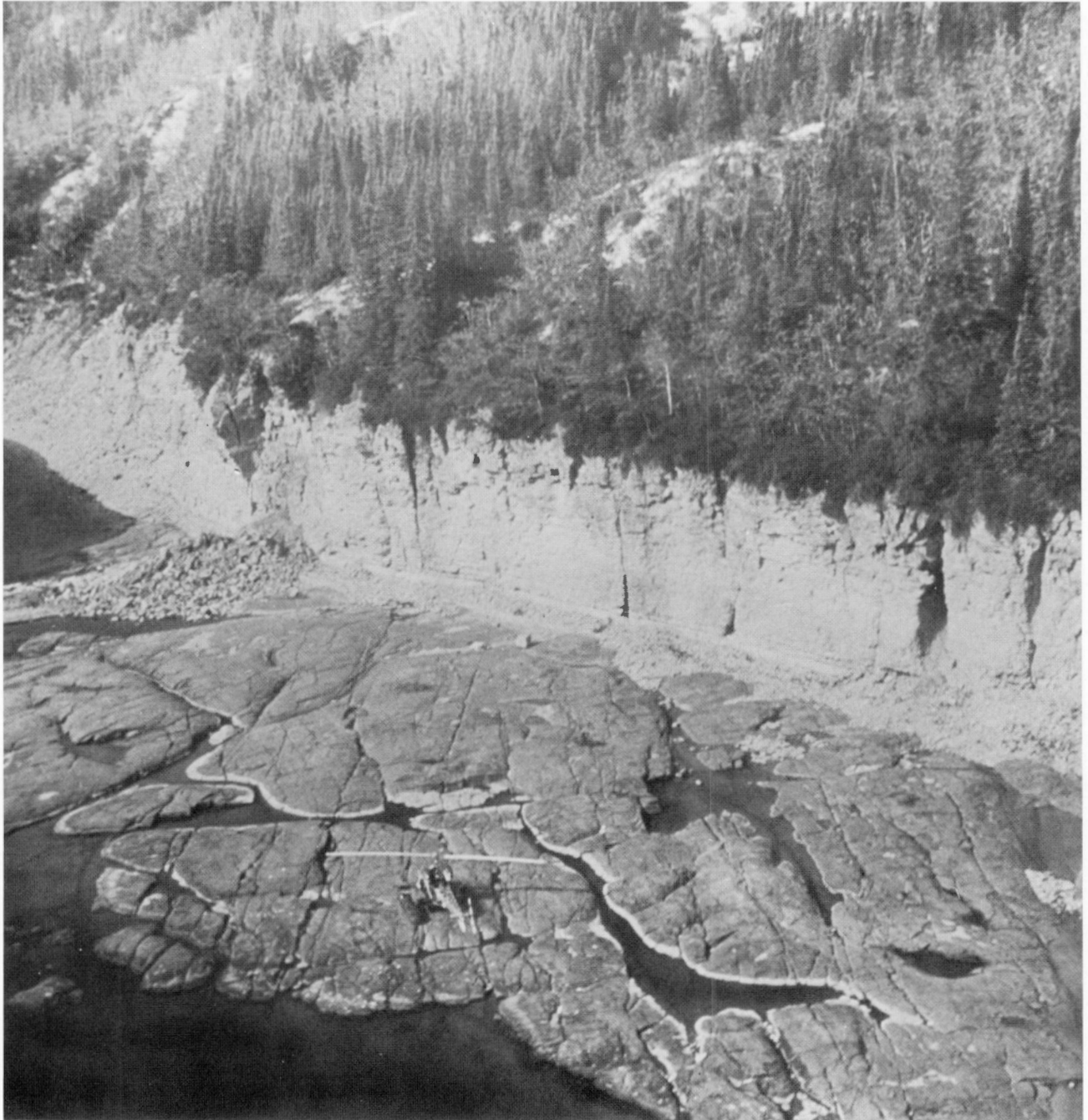
Cuesta dans les calcaires de l'Ordovicien, île Manitoulin (Ont.).



140244

Cross-section of an esker; Mariposa Township, Ontario.

Vue en coupe d'un esker, township de Mariposa (Ont.).



200841B

Unconformity between Upper Ordovician limestone (Bad Cache Rapids Group) and Precambrian granitic gneiss. Churchill River, Manitoba.

Discordance angulaire entre les calcaires du groupe de Bad Cache Rapids de l'Ordovicien supérieur et les gneiss granitiques du Précambrien, rivière Churchill (Man.).



**CANADIAN SHIELD**  

---

**LE BOUCLIER CANADIEN**







2075



140076

Churchill (formerly Grand) Falls, Labrador. The river, now dammed, fell 1,038 feet in 16 miles the drop at the main falls being 245 feet. The two photos, one taken in 1894 and the other in 1951, show the river in early and late spring.

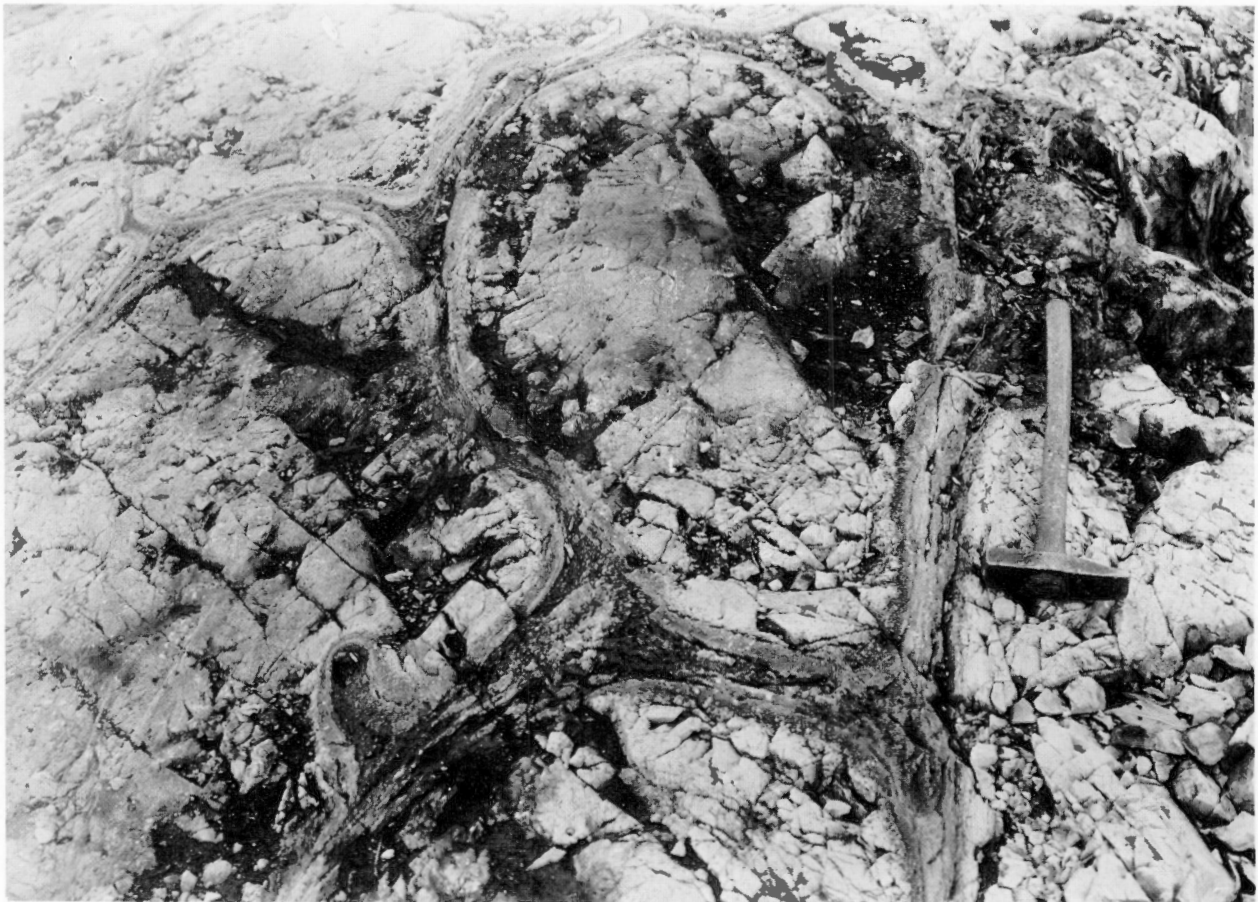
Chutes Churchill autrefois connues sous le nom de Grandes Chutes (Labrador). Le tronçon de la rivière sur lequel on a construit des barrages hydro-électriques accuse, sur une distance de 16 milles, une dénivellation 1,038 pieds; la hauteur de la chute principale est de 245 pieds. La photo 2075 date de 1894, elle fut prise au début du printemps, l'autre (140076) datant de 1951 fut prise à la fin de cette saison.



76526

Pillow structure in andesitic lava flows; Duprat Township, Quebec.

Coulées d'andésite présentant une structure en coussins, canton de Duprat (Québec).

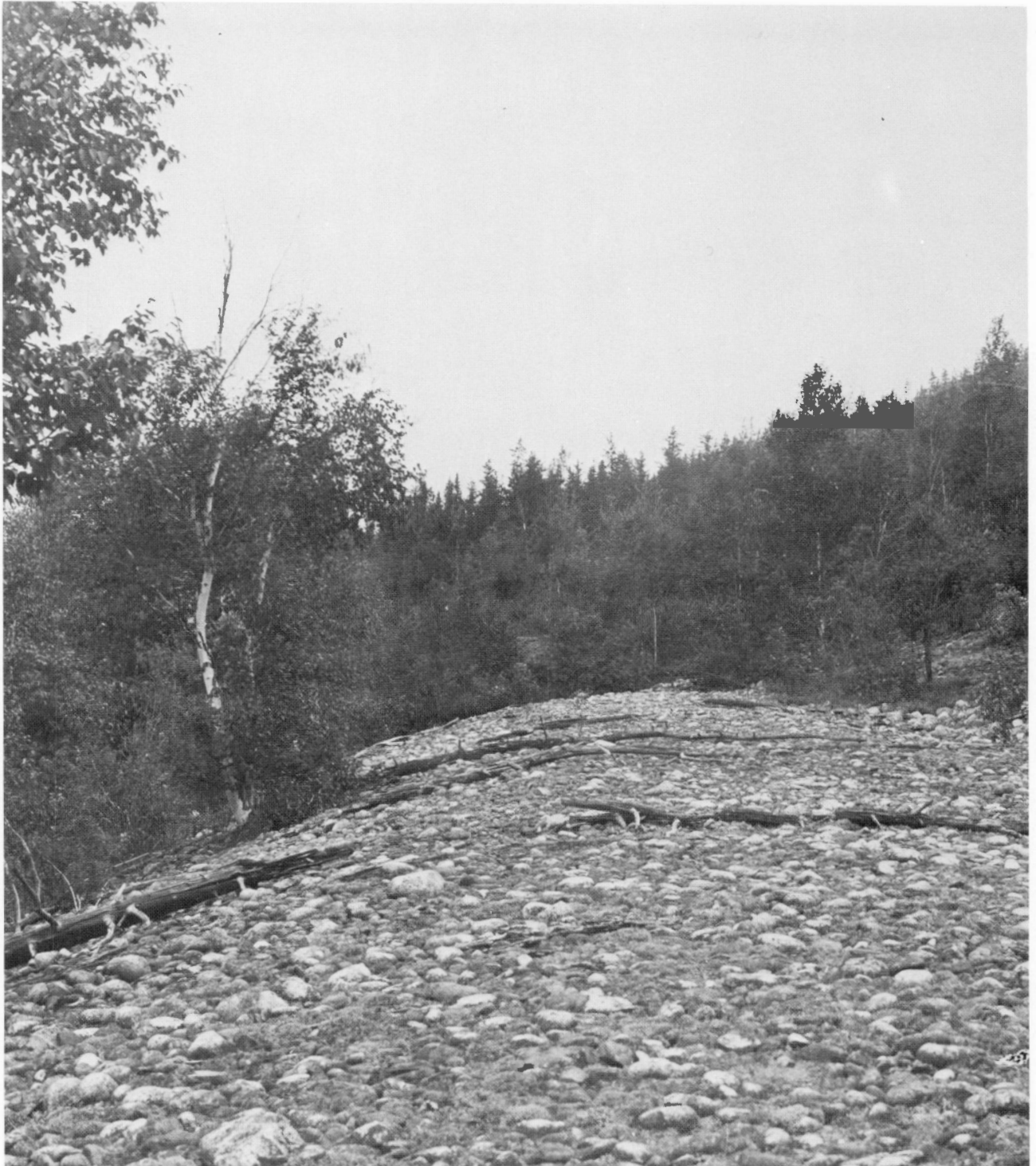


79652

Pillow structures in andesitic lava flows; Rouyn Township, Quebec.

Coulées d'andésite présentant une structure en coussins, canton de Rouyn (Québec).





83255

Raised beach, Mount Plamondon, northeast of Lake Abitibi. This beach was formed at the edge of one of the large lakes formed along the margin of the retreating Wisconsinian ice sheet.

Plage soulevée, mont Plamondon au nord-est du lac Abitibi (Québec). Cette plage a été formée à la bordure d'un des grands lacs glaciaires le long de la marge du glacier au cours de la régression glaciaire du Wisconsin.



85925

Conglomerate of Precambrian age; Rouyn Township, Quebec.

Roches conglomératiques du Précambrien, canton de Rouyn (Québec).



86105

Pegmatite dyke cutting metasedimentary rocks, Dussault Lake, Quebec.

Dyke de pegmatite traversant un affleurement de roches sédimentaires partiellement métamorphisées, lac Dussault (Québec).



114338

Rocks of granodioritic composition were intruded by a basaltic dyke. The rocks were later partly remobilized which caused the partial break-up of the dyke; east coast of Hudson Bay.

Roches granodioritiques traversées par un dyke de basalte. Le bris partiel du dyke est dû à un mouvement ultérieur des roches traversées, côte est de la baie d'Hudson.

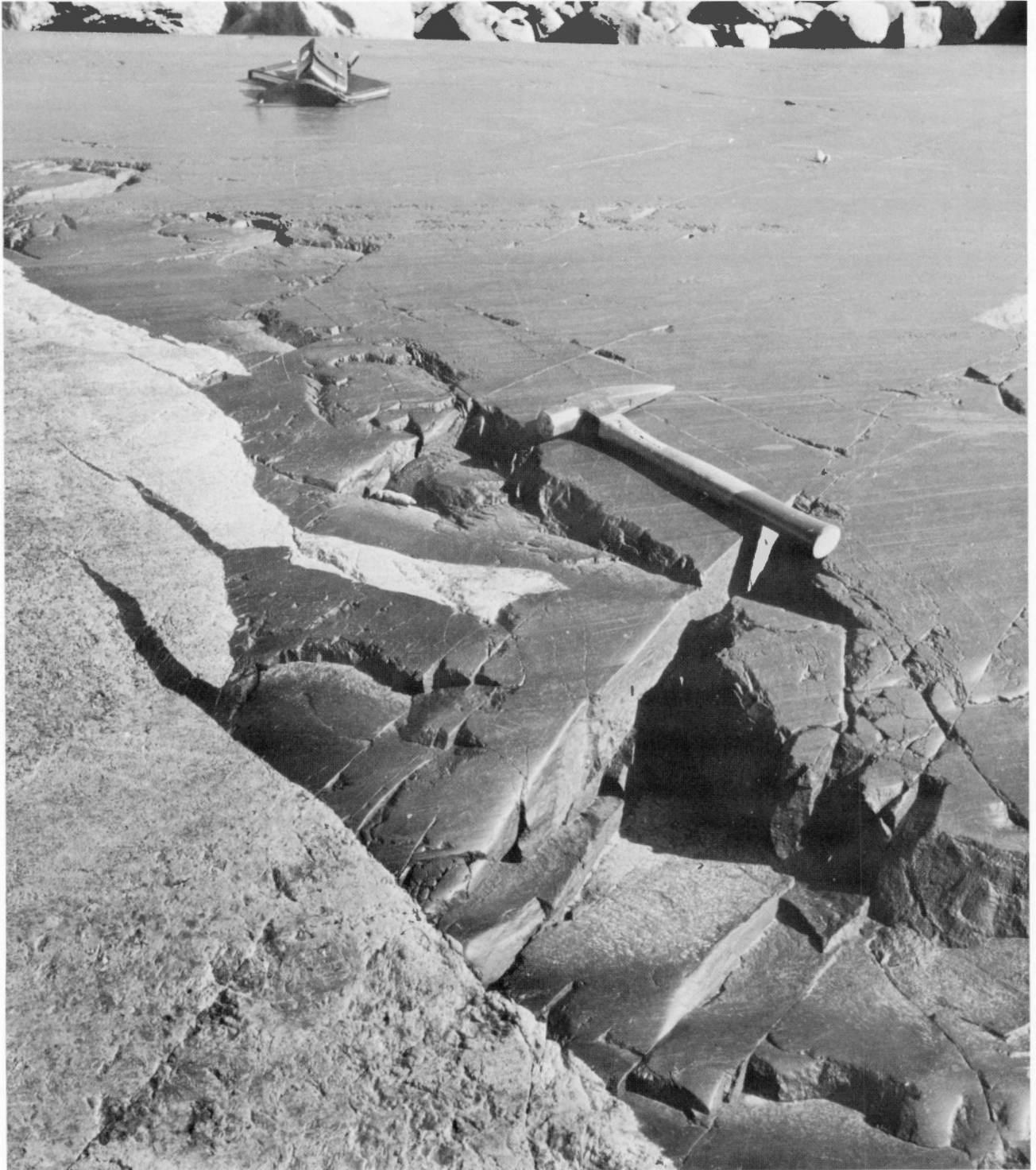




125219

Spheroidal andesite; Richmond Gulf, east coast of Hudson Bay.

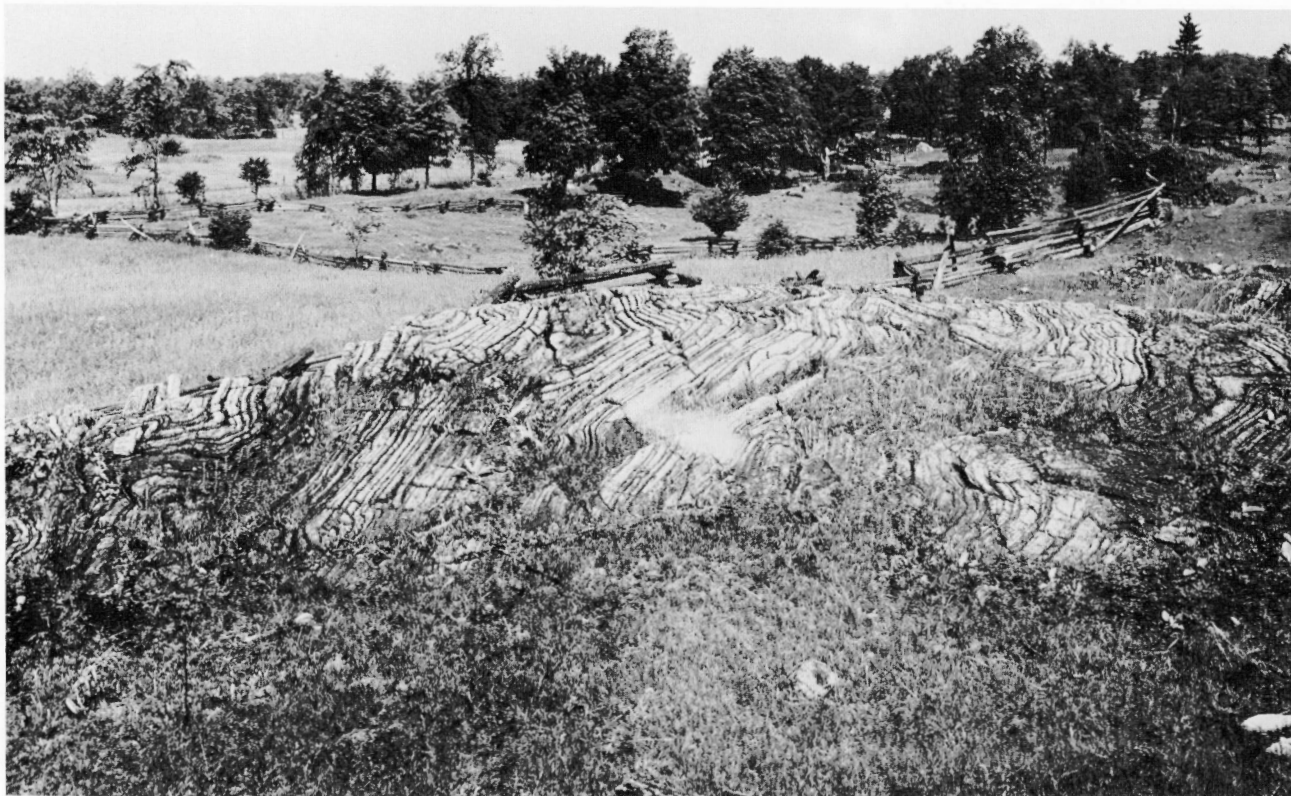
Coulées en boules d'andésite, golfe de Richmond, côte est de la baie d'Hudson (Québec).



125220

Diabase dyke, east coast of Hudson Bay; glacial striae form a pattern of fine parallel lines.

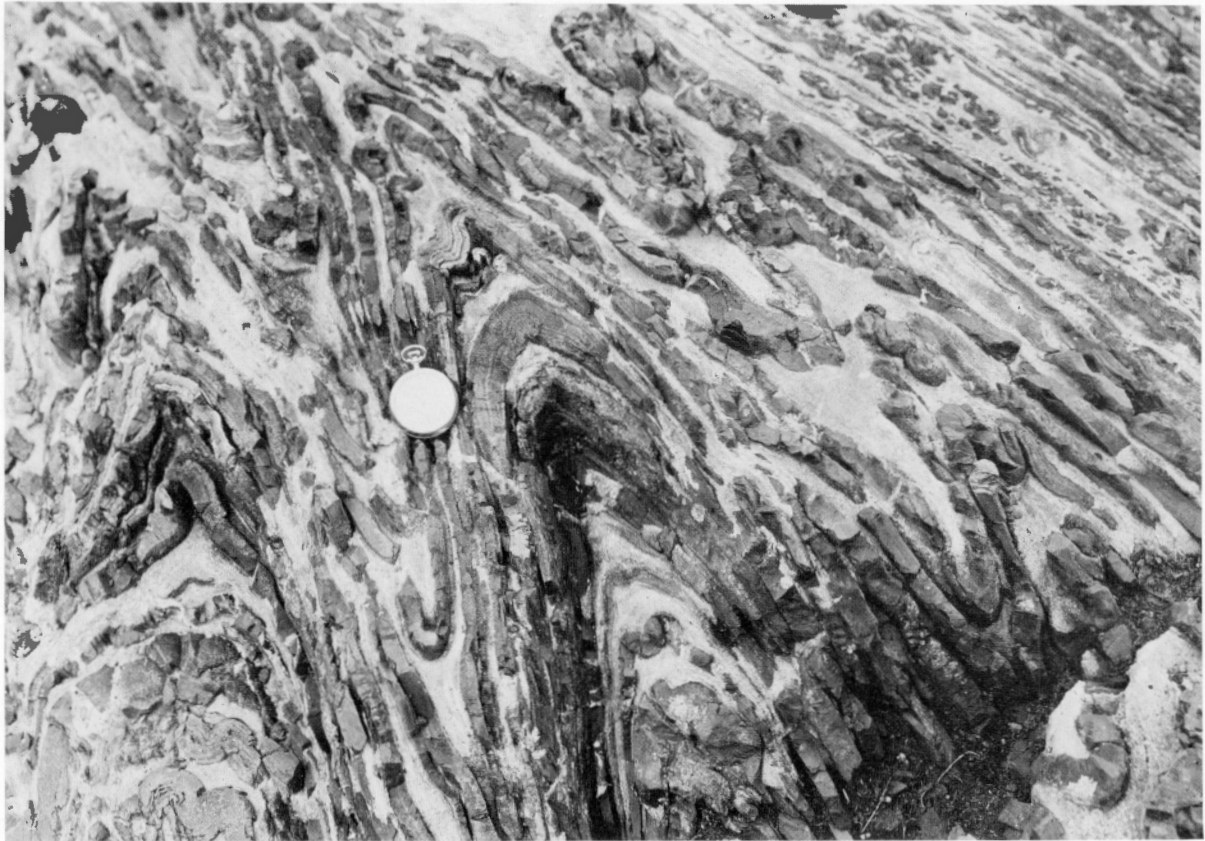
Dyke de diabase sur la côte est de la baie d'Hudson; remarquer le réseau de stries glaciaires formé de fines lignes parallèles.



61270

Folded dolomite of the Precambrian Grenville Group projecting through a thin soil cover; Madoc Township, Ontario.

Plis dans des dolomies du groupe de Grenville d'âge précambrien affleurant d'un sol mince, township de Madoc (Ont.).

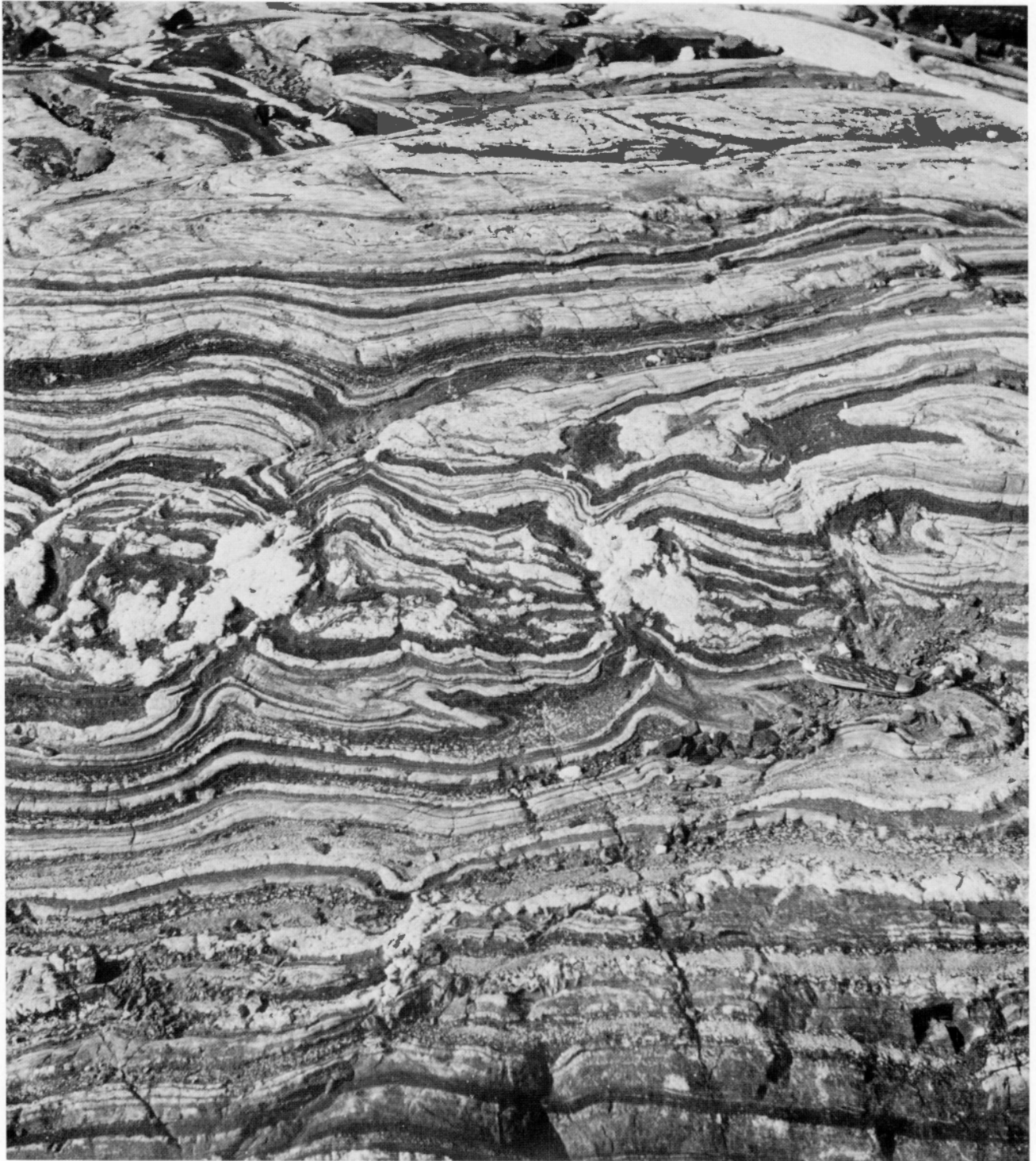


64207

Folded greywacke and limestone of late Precambrian age, Grenville Group; Belmont Township, Ontario.

Plis dans des grauwaques et des calcaires du groupe de Grenville datant de la fin du Précambrien, township de Belmont (Ont.).





115653

Boudinage structure in quartz-magnetite iron-formation interlayered with biotite-feldspar-quartz gneiss; Kapiko Iron Range, Ontario.

Structure en boudin dans une formation ferrifère de magnétite et de quartz lardée de gneiss composés surtout de quartz feldspathique à biotite, Kapiko Iron Range (Ont.).



61684

Quartz lenses in porphyritic granodiorite; Winnipeg River, Manitoba.

Dallage de lentilles de quartz incrustées dans des granodiorites porphyritiques, rivière Winnipeg (Man.).



76465

Lamprophyre dyke cutting Precambrian gneissic rocks; Cross Lake, Manitoba.

Dyke de lamprophyre pénétrant un affleurement de roches gneissiques, lac Cross (Man.).





82419

Folded, interbedded iron-formation and metasedimentary rocks of Precambrian age; Beresford Lake area, Manitoba.

Plis et interstratifications dans une formation ferrifère et dans des roches sédimentaires partiellement métamorphisées du Précambrien, région du lac Beresford (Man.).





117927

A scene typical of many parts of the Canadian Shield; Butterfly Lake, Manitoba.

Un paysage typique du Bouclier canadien, lac Butterfly (Man.).



117969

Garnetiferous metasedimentary rocks of Precambrian age; Cross Lake, Manitoba. Knife blade points to a large garnet crystal.

Roches sédimentaires grenatiques partiellement métamorphisées du Précambrien; la lame du canif pointe un gros cristal de grenat, lac Cross (Man.).



117977

Pegmatite dykes intruding other Precambrian gneissic rocks; Point Lake, Manitoba.

Dykes de pegmatite traversant des roches gneissiques du Précambrien, lac Point (Man.).



28521

Roches moutonnées, Black Bay, Lake Athabasca, Saskatchewan.

Bel exemple de roches moutonnées, baie Black, lac Athabasca (Sask.).





119559

Plunge pools developed in Dubawnt Sandstone; Thelon Plain, District of Keewatin, N.W.T.

Mares dans des grès de Dubawnt, plaine de Thelon, district de Keewatin (T.N.-O.).



81755

Potholes formed in quartzite; Outpost Islands, District of Mackenzie.

Marmites de géants taillées dans des quartzites, îles Outpost, district de Mackenzie (T.N.-O.).



84169

Pillowed lavas, Yellowknife Supergroup, Gordon Lake, District of Mackenzie, N.W.T.

Laves en coussins appartenant au groupe de Yellowknife, lac Gordon, district de Mackenzie (T.N.-O.).



84382

Falls on Yellowknife River just below Bluefish Lake, District of Mackenzie, N.W.T.

Chute sur la rivière Yellowknife en aval du lac Bluefish, district de Mackenzie (T.N.-O.).

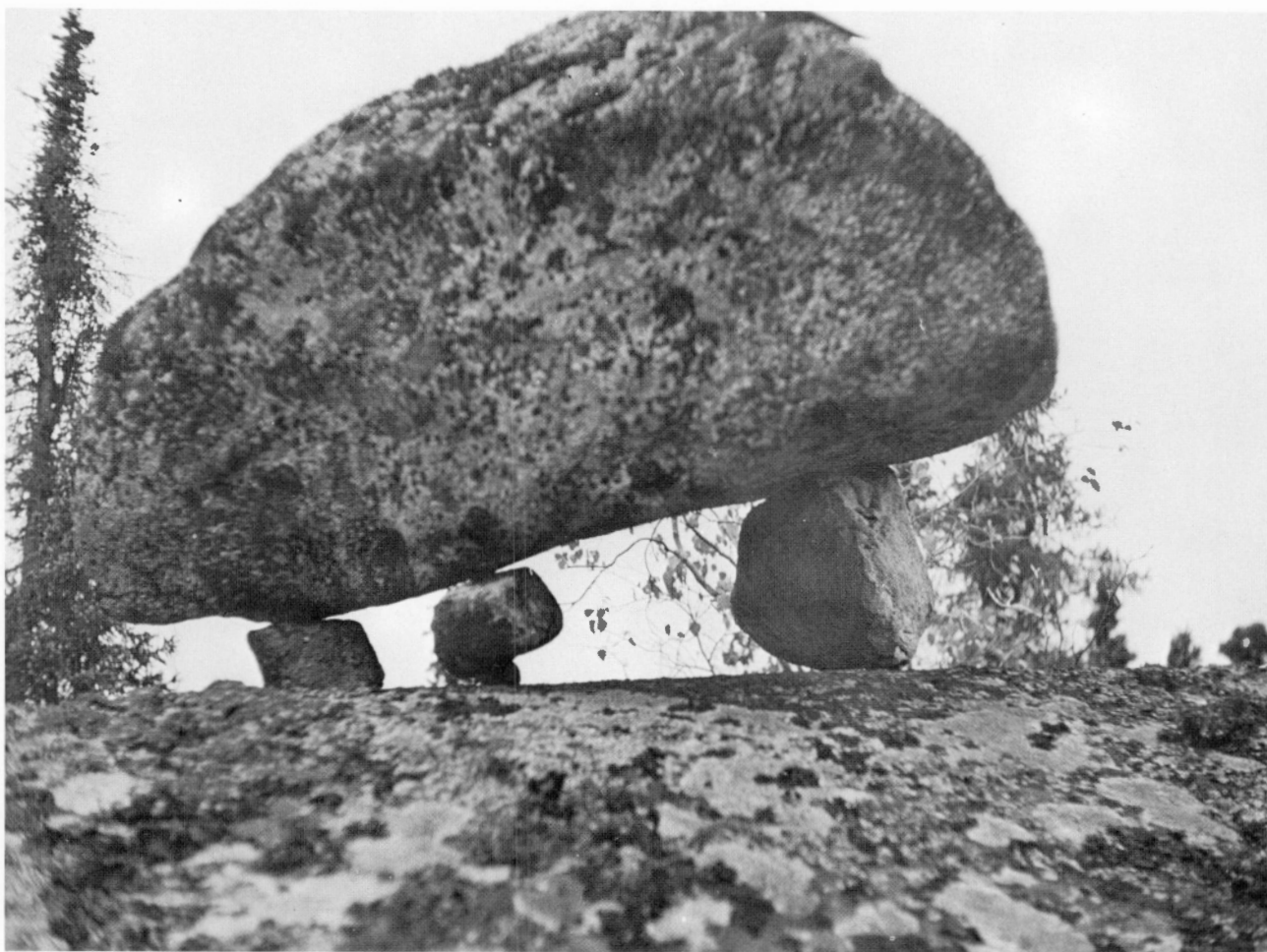




85515

Esker; Snare River area, District of Mackenzie, N.W.T.

Esker, région de la rivière Snare, district de Mackenzie (T.N.-O.).



90538

Perched glacial erratic; Mackay Lake area, District of Mackenzie, N.W.T.

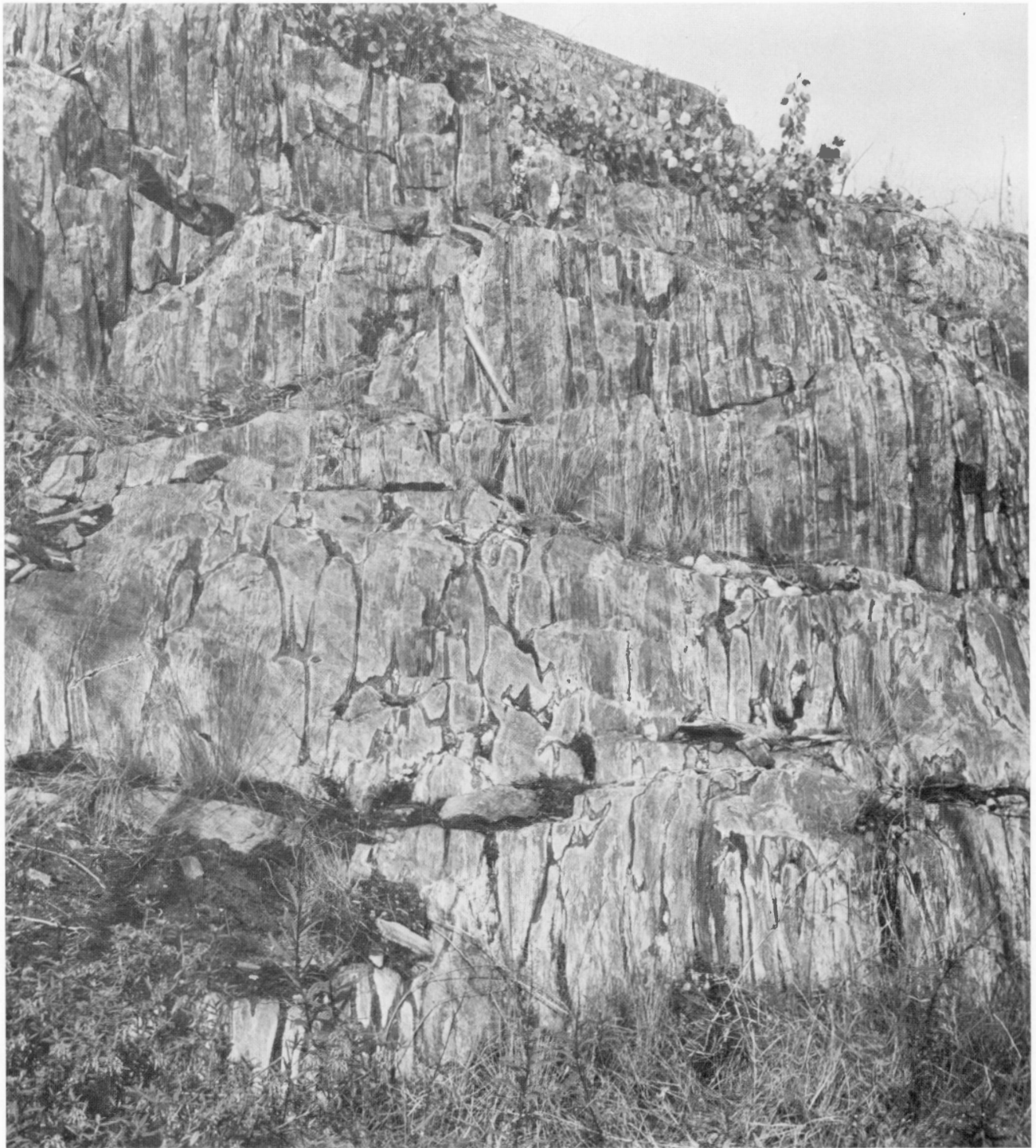
Bloc erratique déposé sur de gros cailloux, région du lac Mackay, district de Mackenzie (T.N.-O.).



124123

Stromatolites in dolomite of late Precambrian age, Epworth Group; Takiyuak Lake, District of Mackenzie, N.W.T.

Stromatolithes disposées en cylindres contigus dans de la dolomie. Cette structure de stromatolithes appartient au groupe d'Epworth et date de la fin du Précambrien, lac Takiyuak, district de Mackenzie (T.N.-O.).



201897

Flattened pillows in amphibolitic lava flows; Brislane Lake, District of Mackenzie, N.W.T.

Coulées d'amphibolite présentant une structure en coussins plus ou moins aplatis, lac Brislane, district de Mackenzie (T.N.-O.).





**ARCTIC REGION**  

---

**RÉGION DE L'ARCTIQUE**



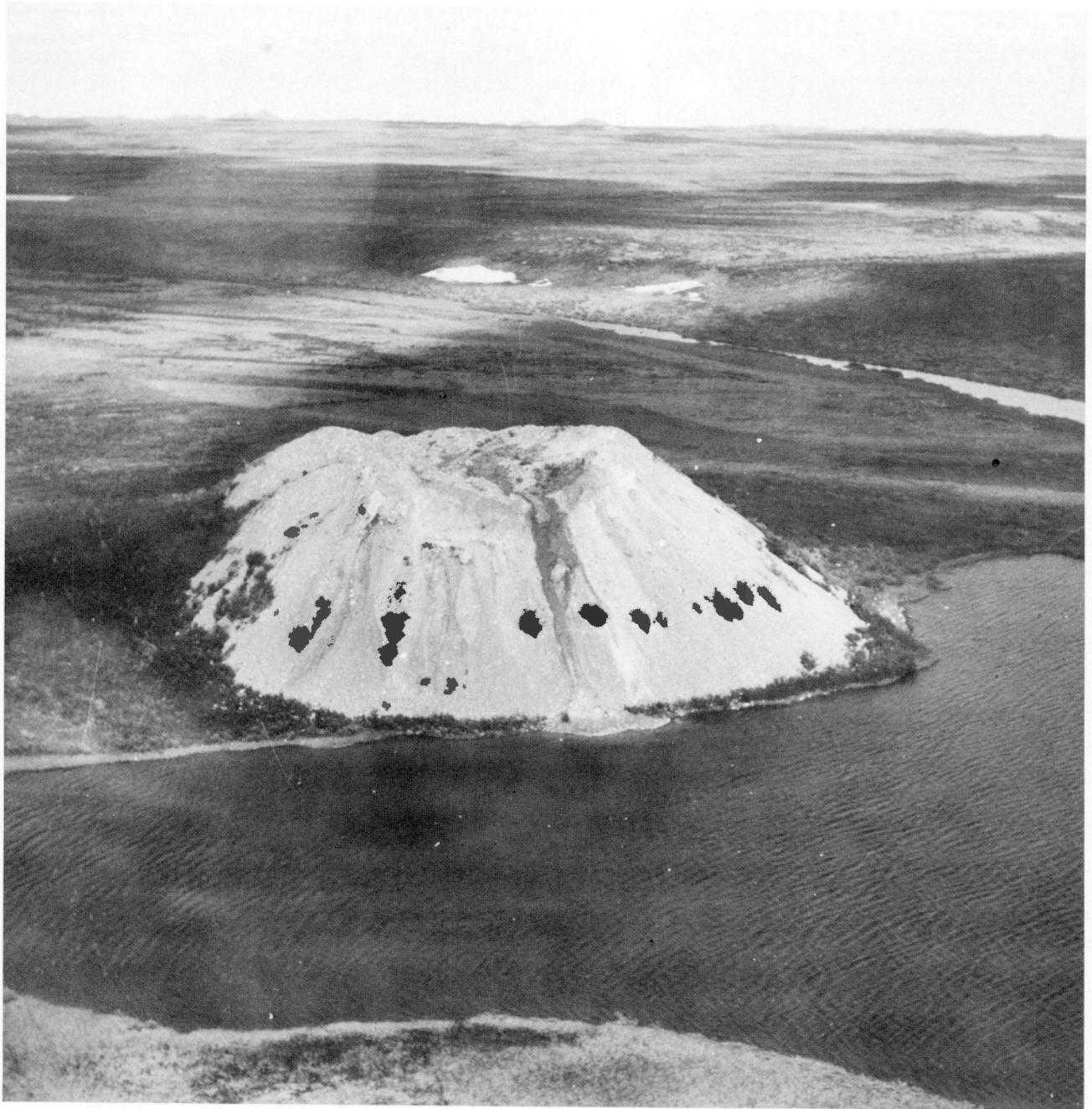


201942

Dendritic drainage pattern in silty overburden; head of Pelly Bay, N.W.T.

Drainage dendritique dans un terrain de couverture silteux, partie amont de la baie Pelly (T.N.-O.).





201946

Pingo developed in Lower Cretaceous shale; eight miles east of Horton Lake and north of Smith Arm, Great Bear Lake.

Pingo formé dans des schistes argileux du Crétacé inférieur, huit milles à l'est du lac Horton, au nord de la baie Smith, Grand lac de l'Ours (T.N.-O.).



154561

Polygonal ground, Old Crow Plain, Yukon Territory, note the isolated spruce trees along the margins.

Polygones de toundra, plaine d'Old Crow (Yukon); remarquer les épinettes sur la bordure des polygones.



113917

Barren interior of Baffin Island south of Cumberland Sound, N.W.T. Broad, shallow rivers drain this part of Hall Upland. Granitic gneiss forms bedrock and the surface is strewn with debris left by last ice sheet.

Paysage dénudé à l'intérieur de l'île Baffin au sud de la baie Cumberland (T.N.-O.). Cette partie du bas-plateau de Hall est drainée par de larges rivières peu profondes. Roche en place de gneiss granitiques recouverte en maint endroit de matériaux glaciaires provenant de la dernière glaciation.





113932

Iceberg aground off the rugged coast of southern Baffin Island, N.W.T.

Iceberg échoué au voisinage des côtes accidentées de la partie sud de l'île Baffin (T.N.-O.).





125151A



125151B

Elwin Ice Cap, northern Baffin Island. The close-up of the serrated front of the glacier illustrates the shear planes along which debris is brought to the surface.

Vue sur la calotte Elwin, partie nord de l'île Baffin (T.N.-O.). La photo 125151B montre en gros plan le front du glacier formé de pyramides de glace. On distingue les plans de cisaillement le long desquels les débris sont remontés à la surface.



142412

Castellated cliffs of quartzite and talus cones; east coast Admiralty Inlet, Baffin Island.

Escarpement constitué de quartzite fortement érodé, les résidus de l'érosion forment un talus d'éboulis; remarquer les plus gros éléments à la base du talus. Côte est de l'inlet de l'Amirauté, île Baffin (T.N.-O.).



142431

Block faulting along the shore of Adams Sound, northern Baffin Island. Precambrian granitic rocks that outcrop at sea level are overlain by basalt flows and white quartzites of late Precambrian age.

Bloc faillé basculé, en bordure de la baie Adams, partie nord de l'île Baffin (T.N.-O.). Superposition de trois couches rocheuses: à la base, roches granitiques du Précambrien, viennent ensuite des basaltes et enfin des quartzites (en clair) de la fin du Précambrien.

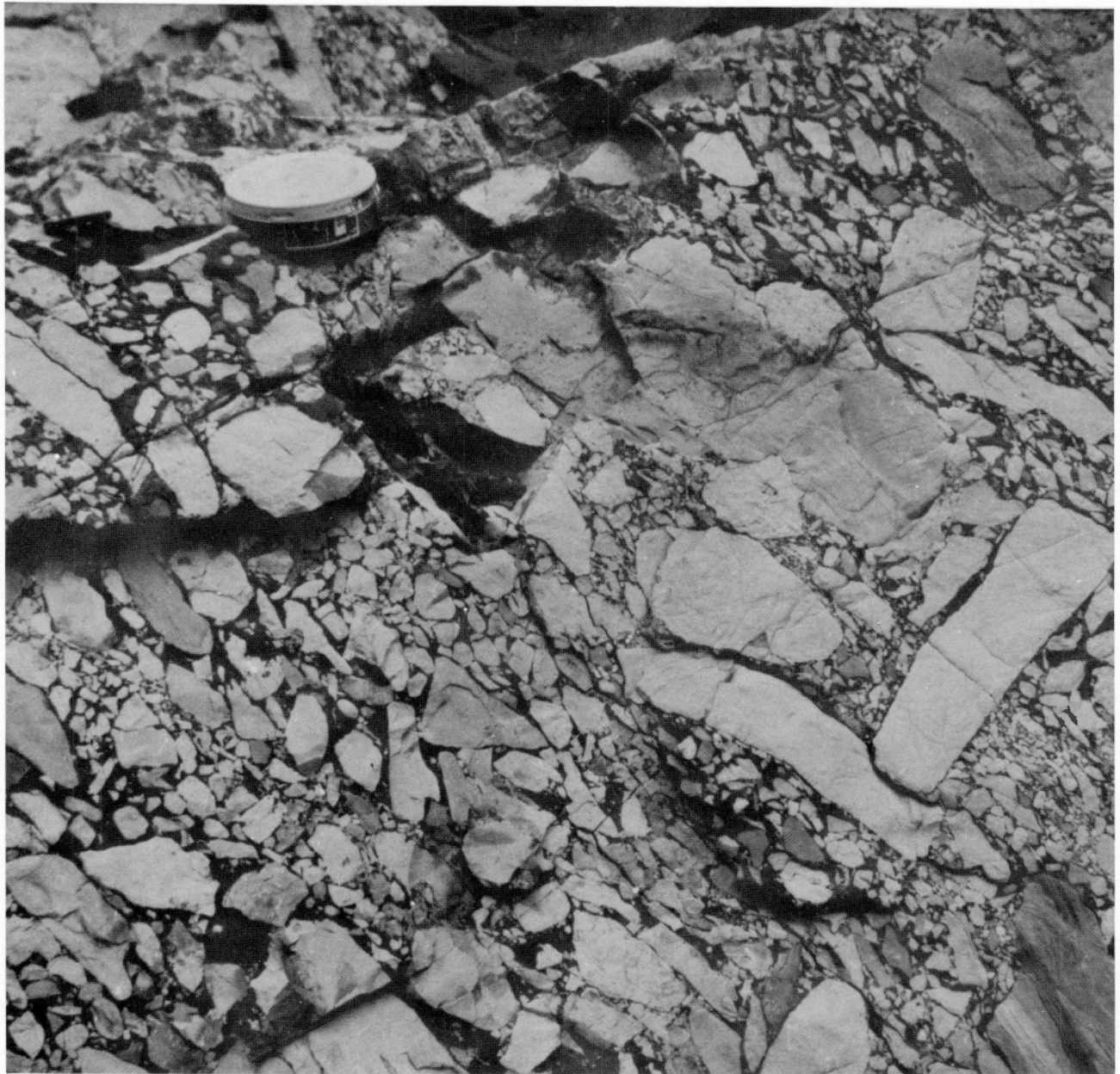


152991

Valley of Eqalulik River, east coast of Admiralty Inlet, Baffin Island; cliffs of multicoloured quartzite (left) and basaltic flows (right) rise 1,500 feet above the valley.

Vue sur la vallée de l'Eqalulik, côte est de l'inlet de l'Amirauté, île Baffin (T.N.-O.). Les escarpements s'élèvent à une hauteur de 1,500 pieds par rapport au fond de la vallée, formés de quartzites multicolores (à gauche) et de coulées basaltiques (à droite).





152995

Conglomerate near base of late Precambrian Strathcona Sound Formation; northern Baffin Island.

Conglomérats au voisinage de la base de la formation de Strathcona Sound, fin du Précambrien, partie nord de l'île Baffin (T.N.-O.).



201922

East coast of Baffin Island; Inugsuin Fiord. Land rises more than 4,000 feet from sea level.

Côte est de l'île Baffin, vue sur le fiord Inugsuin. Certaines cimes, bordant ce fiord, s'élèvent à plus de 4,000 pieds de hauteur (T.N.-O.).



201923

Perched boulder lying above shore of Clark Fiord, east coast of Baffin Island. In places the cliffs rise 3,800 feet from the sea; elsewhere extensive talus slopes are developed.

Boulder perché, déposé sur le littoral rocheux du fiord Clark, côte est de l'île Baffin (T.N.-O.). En plusieurs points, les escarpements rocheux atteignent 3,800 pieds de hauteur; au pied de ceux-ci se trouve un grand nombre de talus d'éboulis.



201924

Ice-dammed lake showing trace of former higher level lake now overrun by two small glacier tongues. Northern Baffin Island.

Lac de barrage glaciaire envahi par deux petites langues glaciaires; les dépôts latéraux témoignent de la limite maximum atteinte antérieurement par ce lac. Partie nord de l'île Baffin (T.N.-O.).





201925

The rugged east coast of Baffin Island; Icy Arm in distance with ice-capped cliffs rising as much as 4,000 feet straight from the sea.

Paysage accidenté de la côte est de l'île Baffin (T.N.-O.). A l'arrière-plan on aperçoit l'entrée de l'inlet Icy et ses escarpements de plus de 4,000 pieds de hauteur dont les sommets sont recouverts par des glaciers.



201926

Layered gneisses (Precambrian) exposed in 3,500-foot-high cliffs; Sam Ford Fiord, eastern Baffin Island.

Escarpements d'une hauteur de 3,500 pieds constitués de gneiss du Précambrien disposés en strates, fiord Sam Ford, partie est de l'île Baffin (T.N.-O.).



201927

The 4,500-foot-high cliffs of Sam Ford Fiord, eastern Baffin Island. Subhorizontally layered Precambrian gneisses and numerous talus cones.

Escarpement de 4,500 pieds formant une des parois du fiord Sam Ford à l'est de l'île Baffin (T.N.-O.). Remarquer la disposition en couches presque horizontales des gneiss du Précambrien et les nombreux talus d'éboulis.



201928

Coronation Glacier, Penny Ice Cap, Baffin Island. Both marginal and medial moraines are well developed.

Glacier du Couronnement, région de la calotte Penny. On distingue nettement des moraines médianes et latérales bien formées, île Baffin (T.N.-O.).





201929

Mount Asgard, Baffin Island.

Mont Asgard, île Baffin (T.N.-O.).



201930

Mount Asgard (left of centre) north of Pangnirtung, Baffin Island. Peaks in this area reach 6,500 feet above sea level.

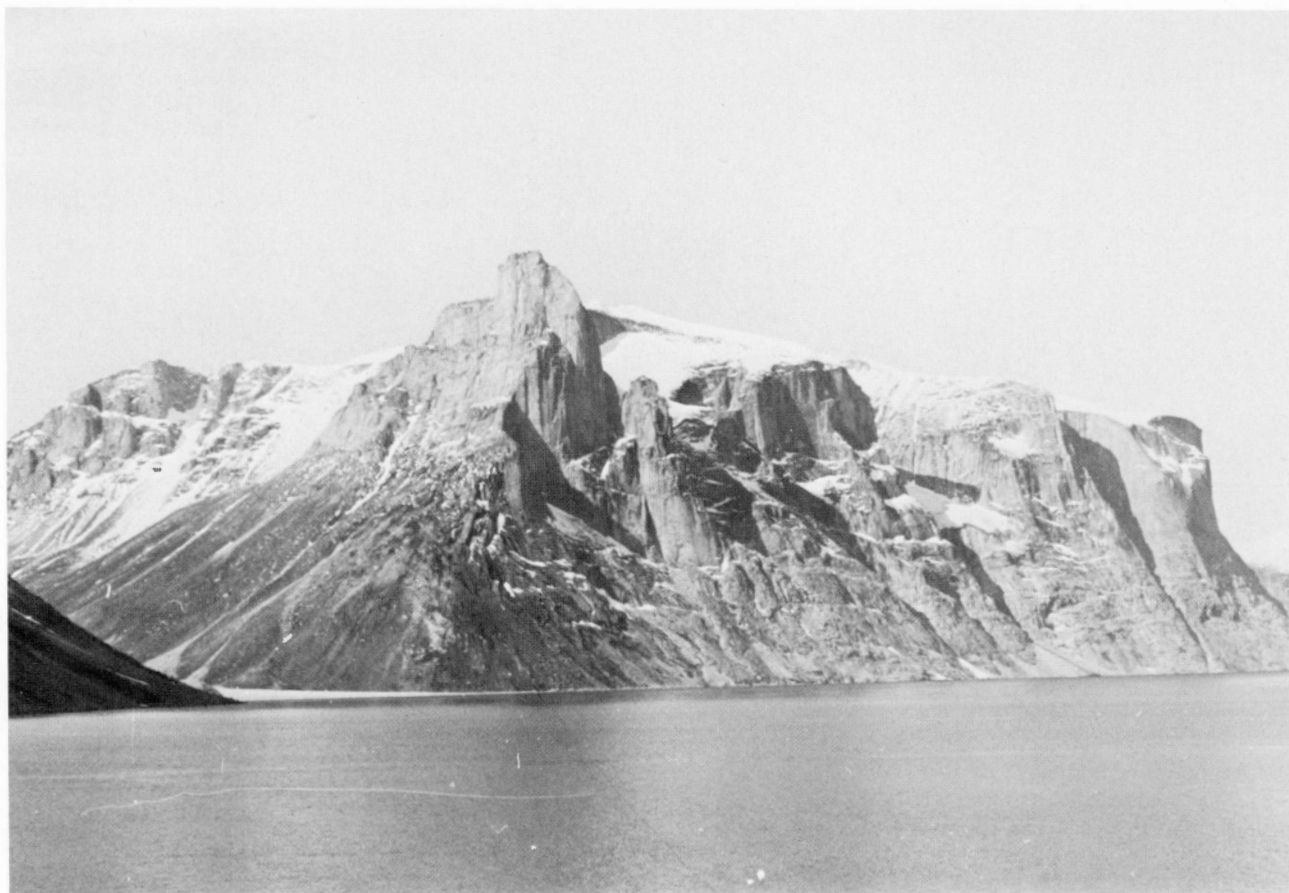
Vue sur le mont Asgard (centre gauche) situé au nord de Pangnirtung, île Baffin (T.N.-O.). Certaines cimes atteignent jusqu'à 6,500 pieds de hauteur.



201931

Peaks of eastern Baffin Island; Thor Peak (5,000 feet), Mount Odin (6,500 feet) on left and Tirokwa Peak (5,500 feet) on extreme right.

Relief présentant plusieurs hauts pics, partie nord de l'île Baffin (T.N.-O.). Au centre de la photo, le pic Thor atteint une hauteur de 5,000 pieds, à gauche, le mont Odin, 6,500 pieds et à l'extrême droite, le pic Tirokwa, 5,500 pieds.



201932

Inugsuin Fiord, east coast of Baffin Island; cliffs rise more than 4,000 feet from the fiord and are topped by small ice caps.

Fiord Inugsuin, côte est de l'île Baffin (T.N.-O.). Les escarpements rocheux atteignent plus de 4,000 pieds de hauteur et sont capuchonnés de petites calottes glaciaires.

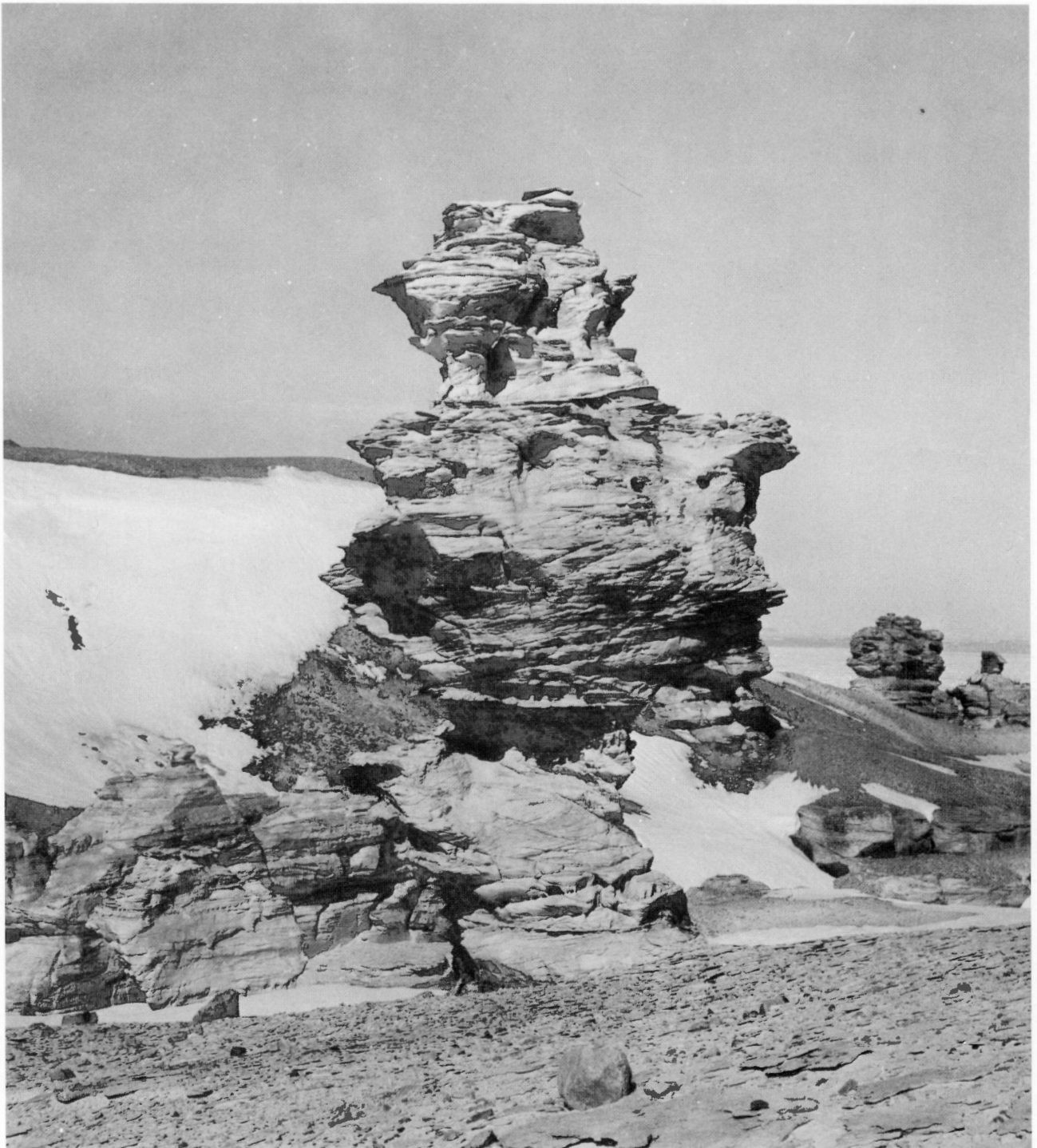




201934

Fault between light coloured gneissic rocks and darker metasediments of the Piling Group; near head of Tingin Fiord, eastern Baffin Island.

Faille entre les roches gneissiques (en clair) et les roches sédimentaires partiellement métamorphisées (en foncé) du groupe de Piling, partie amont du fiord Tingin, côte est de l'île Baffin (T.N.-O.).



201937

Hoodoos in Gallery Formation (early Paleozoic age); Arctic Bay, Baffin Island.

Cheminées de fées formées de roches de la formation de Gallery, début du Paléozoïque; excellent exemple de l'effet de l'érosion éolienne, Arctic Bay, île Baffin (T.N.-O.).



201939

Lateral moraines in valley incised into Lancaster Plateau, northern Baffin Island, N.W.T.

Moraines latérales et tabliers d'éboulis dans une vallée creusée dans le plateau Lancaster, partie nord de l'île Baffin (T.N.-O.).



201940

Jackson Inlet showing the monotonous plateau surface of Brodeur Peninsula, Baffin Island, and the extensive raised beaches at the head of the inlet. The sea ice pattern is typical of conditions in early July.

Vue sur l'inlet Jackson, île Baffin (T.N.-O.); remarquer le relief monotone de cette région et les plages émergées en amont de l'inlet. Au début de juillet, la présence de glace marine est typique au paysage.





201943

Glacier, west side of Navy Board Inlet, northern Baffin Island; lateral moraines are well developed.

Glacier sur la côte ouest de l'inlet Navy Board, partie nord de l'île Baffin (T.N.-O.); remarquer la configuration nette des moraines latérales.



201947

East Greenland or "open-system" type of pingo developed in the flood plain of Mala River, Borden Peninsula, northern Baffin Island.

Pingo à sommet ébréché formé sur le lit majeur de la rivière Mala, péninsule Borden, partie nord de l'île Baffin (T.N.-O.).



201941

Frost boils in terrain underlain by Paleozoic carbonate rocks; Boothia Peninsula, N.W.T.

Configuration circulaire de toundra entourée de roches carbonatées du Paléozoïque, presqu'île de Boothia (T.N.-O.).





201944



201945

Marine shells whiten a raised beach near Thom Bay, Boothia Peninsula.

Coquillages d'origine marine déposés sur une plage émergée près de la baie Thom; au centre de la photo 201945 le briquet donne l'échelle, presqu'île de Boothia (T.N.-O.).





111954

Columnar jointing in gabbro sill overlying thick bedded sandstone and conglomeratic sandstone. All rocks are of late Precambrian age. Photo taken south of Minto Inlet, Victoria Island, N.W.T.

Divisions prismatiques dans une structure de sill gabbroïque reposant sur une couche épaisse de grès et de grès conglomératique; roches datant de la fin du Précambrien. Sud de l'inlet Minto, île Victoria (T.N.-O.).



111950

Upper Devonian reefs embedded in the clastic sediments of the Melville Island Formation; Mercy Bay, northern Banks Island in distance.

Roches récifales du Dévonien supérieur encastrées dans des sédiments clastiques de la formation de Melville Island, baie Mercy (T.N.-O.). Au haut de la photo, on aperçoit à l'horizon la partie nord de l'île Banks.



131185

Precambrian diabase sill on Banks Island; a remarkable example of the influence of bedding on injected material.

---

Sill de diabase du Précambrien; excellent exemple de l'influence de la stratification sur des matériaux intrusifs, île Banks (T.N.-O.).



201950

Ponds developed in an area of low-centred ice wedge polygons; southern Bathurst Island, N.W.T.

Mares dans des polygones de toundra à centre déprimé, partie sud de l'île Bathurst (T.N.-O.).





113083B

Shales of the Triassic Blaa Mountain Formation intruded by thin sills of gabbro; Eureka Sound, Ellesmere Island.

---

Schistes argileux de la formation de Blaa Mountain d'âge triasique injectés de minces sills gabbroïques. Détroit d'Eureka, île Ellesmere (T.N.-O.).



116347

A giant algal growth of Ordovician age; Ellesmere Island, N.W.T.

Récif d'algues géant mis en place au cours de l'Ordovicien, île Ellesmere (T.N.-O.).



142355

Feilden Peninsula, composed mainly of Permo-Carboniferous sedimentary rocks, juts out into the Arctic Ocean on the north coast of Ellesmere Island, N.W.T.

Vue sur la péninsule Feilden s'avancant dans l'océan Arctique, constituée surtout de roches sédimentaires du Permo-Carbonifère, côte nord de l'île Ellesmere (T.N.-O.).



142380

Grant Land Mountains, northernmost Ellesmere Island, N.W.T.

Vue sur les monts Grant Land, Extrême-Nord de l'île Ellesmere (T.N.-O.).





142383

Piedmont glacier debouching from Grant Land Mountains onto Hazen Plateau, northern Ellesmere Island, N.W.T.

Glaciers de piémont des monts Grant Land qui débouchent sur le plateau Hazen, partie nord de l'île Ellesmere (T.N.-O.).



146772

Coal and coaly shale interbedded with sandy shale and sand of Cenozoic age. The plant remains found in these rocks suggests that the climate then was similar to that of present day southern Ontario; northeast of Lake Hazen, Ellesmere Island.

Couches de houille et de schiste charbonneux lardées d'argile sableuse et de sable schisteux d'âge cénozoïque. Les plantes fossiles de ces couches suggèrent un paléoclimat semblable à l'actuel climat du sud de l'Ontario. Partie nord-est du lac Hazen, île Ellesmere (T.N.-O.).



201906

Hoodoos in Carboniferous sandstones Bjorne Peninsula, southern Ellesmere Island.

Cheminées de fées sculptées dans des grès du Carbonifère, péninsule Bjorne, partie sud de l'île Ellesmere (T.N.-O.).

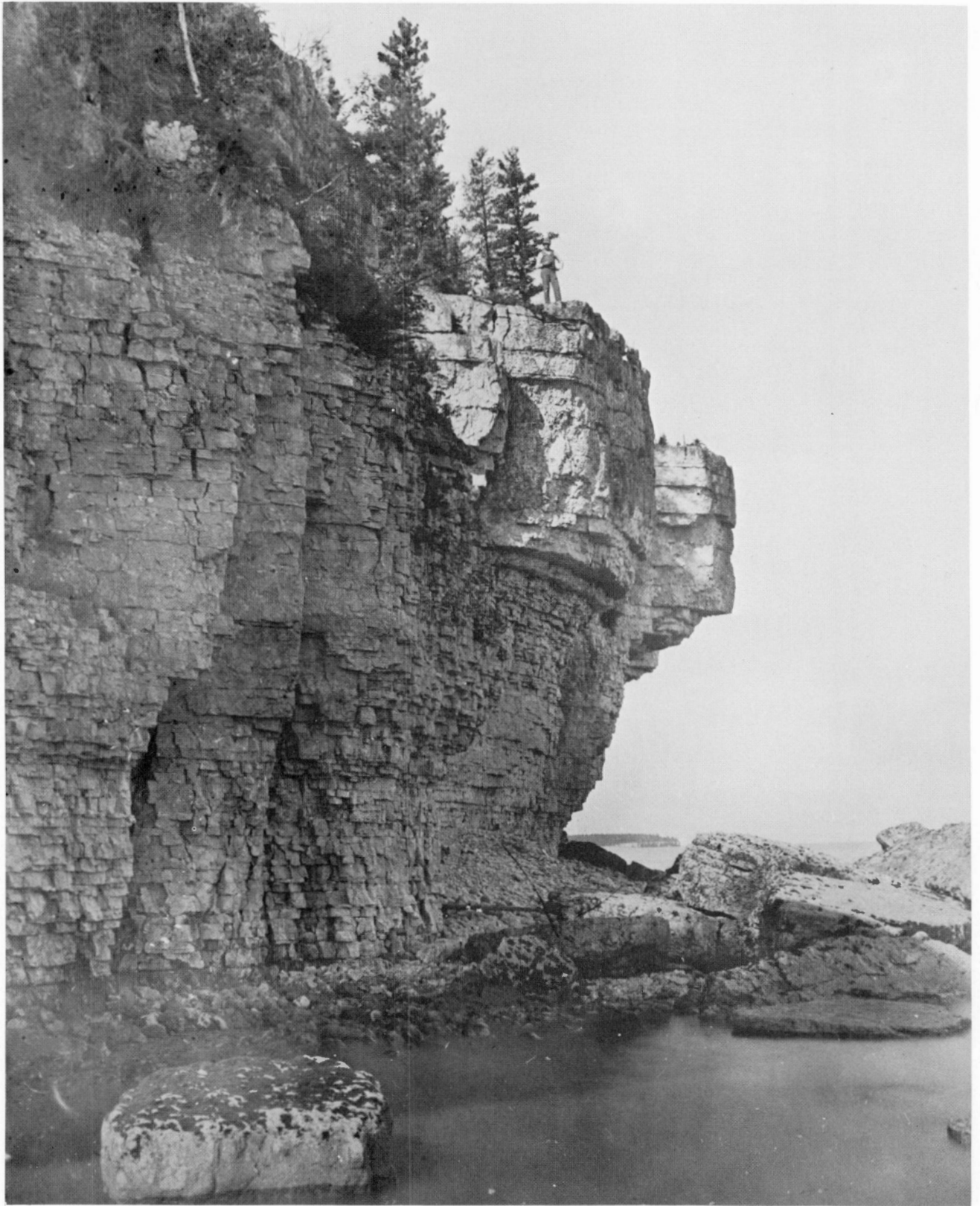
**INTERIOR PLAINS**  

---

**PLAINES INTÉRIEURES**







1470

Cliffs in massive Ordovician limestone and dolomite formed by coastal erosion; Cat Head, Lake Winnipeg, Manitoba.

Escarpement, constitué de calcaire et de dolomie de l'Ordovicien, formé par l'érosion littorale, Cat Head, lac Winnipeg (Man.).



201894

Active dune 14 miles north of Abbey, Saskatchewan.

Dune vive à 14 milles au nord d'Abbey (Sask.).



201895

Badlands in till overlying shales of Bearpaw Formation; trees in the middle distance mark the course of the South Saskatchewan River; 12 miles north of Lancer, Saskatchewan.

«Badlands» dans l'argile schisteuse de la formation de Bearpaw, rivière Saskatchewan-Sud bordée d'arbres à 12 milles au nord de Lancer (Sask.).





201892

Sands and gravels of Cenozoic age cap the Cypress Hills of southeastern Alberta and southwestern Saskatchewan.

Des dépôts de sable et de gravier du Cénozoïque capuchonnent les collines du Cyprés situées au sud-est de l'Alberta et au sud-ouest de la Saskatchewan (Alberta-Saskatchewan).



201893

Cypress Hills, Alberta-Saskatchewan. Parts of this section of the Interior Plains probably was not covered by the last ice sheet.

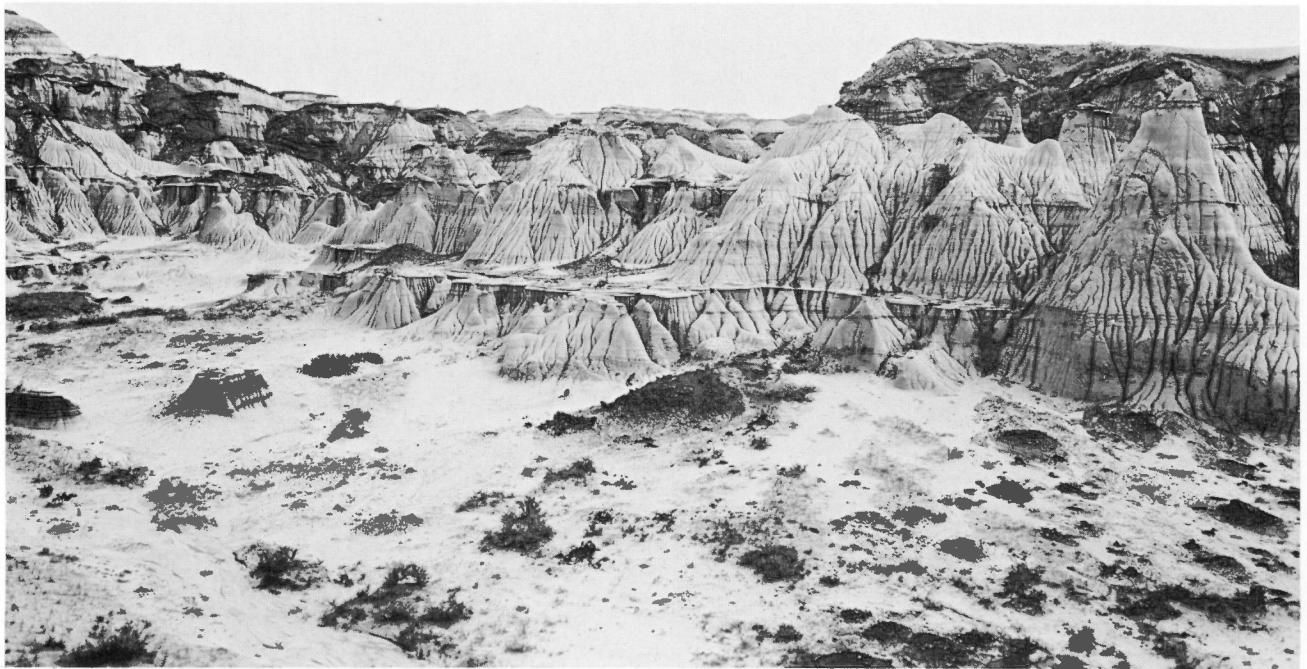
Vue sur les collines du Cyprès (Alberta-Saskatchewan). Une partie de cette zone des plaines Intérieures semble avoir échappé à la dernière glaciation.



40002

Fossil log, 52 feet long, of Upper Cretaceous age; Sandhills Creek, Alberta.

Tronc d'arbre fossile, de 52 pieds de long, dans des matériaux du Crétacé supérieur, ruisseau Sandhills (Alb.).



46600

Badlands topography carved from flat-lying Upper Cretaceous strata; Sandhills Creek, Alberta.

Paysage de «badlands» sculpté dans des couches horizontales du Crétacé supérieur, ruisseau Sandhills (Alb.).





84085

Crossbedded sandstone, Upper Cretaceous Brazeau Formation, Chungo Creek, Alberta.

Lits entrecroisés formés de grès de la formation de Brazeau du Crétacé supérieur, ruisseau Chungo (Alb.).



84209

Drumlins, south of Priddis, Alberta.

Drumlins couverts en partie par une végétation arborescente au sud de Priddis (Alb.).



86008

Neutral Hills, rolling uplands of Alberta Plain, Near Veteran, Alberta.

Vue sur les collines Neutral, hautes-terres ondulées, formant contraste avec la plaine environnante près de Veteran dans la plaine de l'Alberta (Alb.).

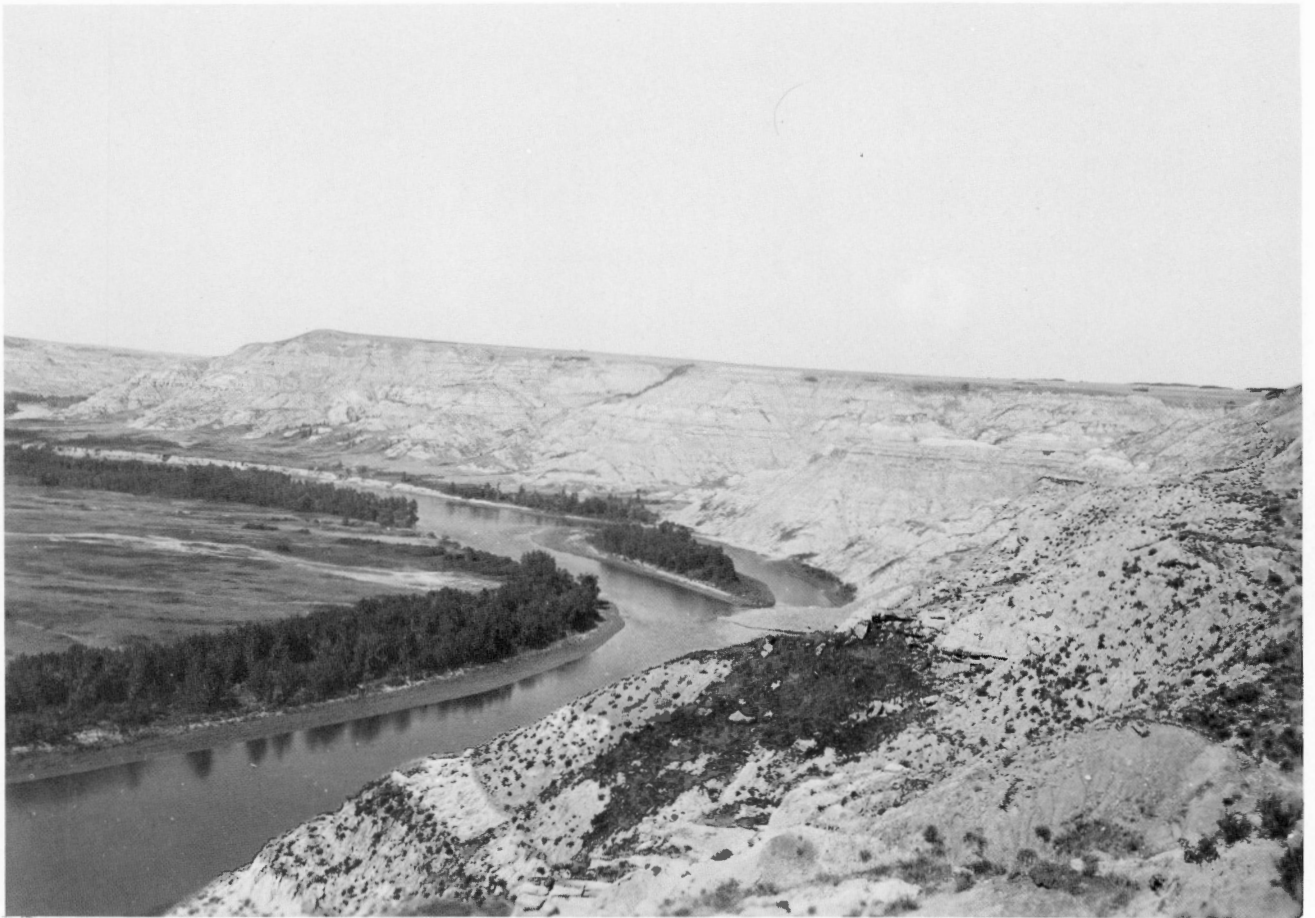


91765

Porcupine Hills, southwestern Alberta looking towards the Rocky Mountain Foothills. This area escaped the main Wisconsin glaciation.

Vue, en direction des Foothills, de la région des collines de Porcupine, sud-ouest de l'Alberta. Cette région a échappé à la glaciation du Wisconsin.





99742

Flat-lying Upper Cretaceous rocks, Alberta. Many dinosaur bones have been found in similar strata.

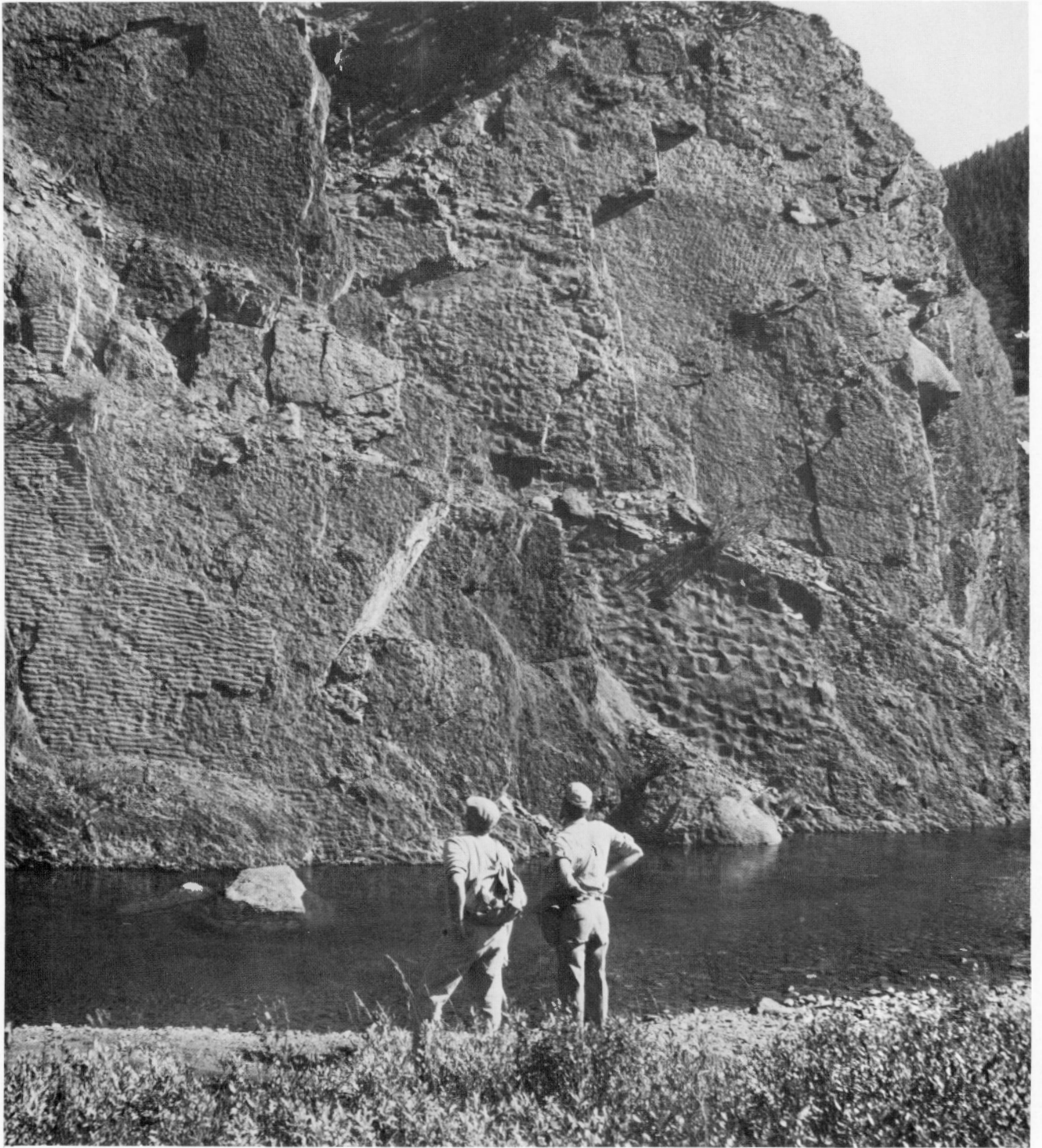
Couches horizontales formées de roches du Crétacé supérieur (Alberta). On a trouvé un grand nombre d'os de dinosaures dans des couches semblables.



122796

Vertically dipping, Lower Cretaceous strata of the Blairmore Group; Burnt Timber, Alberta.

Strates verticales appartenant au groupe de Blairmore du Crétacé inférieur, ruisseau Burnt Timber (Alb.).



122947

Ripple-marks on vertical sandstone, Upper Cretaceous Blackstone Formation; Burnt Timber Creek, Alberta.

Rides sur une paroi de grès de la formation de Blackstone du Crétacé supérieur, ruisseau Burnt Timber (Alb.).





147831



89651

World's largest glacial erratic boulders; Okotoks, Alberta. The material comes from the Athabasca valley near Jasper, Alberta, more than 300 miles away, and was probably transported in one piece.

Vue sur les plus gros blocs erratiques au monde; ces blocs, probablement transportés d'un seul morceau, proviennent de la vallée de l'Athabasca près de Jasper, à plus de 300 milles du lieu où ils se trouvent maintenant, Okotoks (Alb.).





96269

Miniature badland topography in tuff; Painted Bluffs, east of Copper Creek, British Columbia.

Paysage typique de «badlands» en miniature, dans des tufs, Painted Bluffs à l'est de Copper Creek (C.-B.).



201905

Alexandra Falls, N.W.T. Erosion of flat-lying Devonian limestones by Hay River has produced this magnificent waterfall.

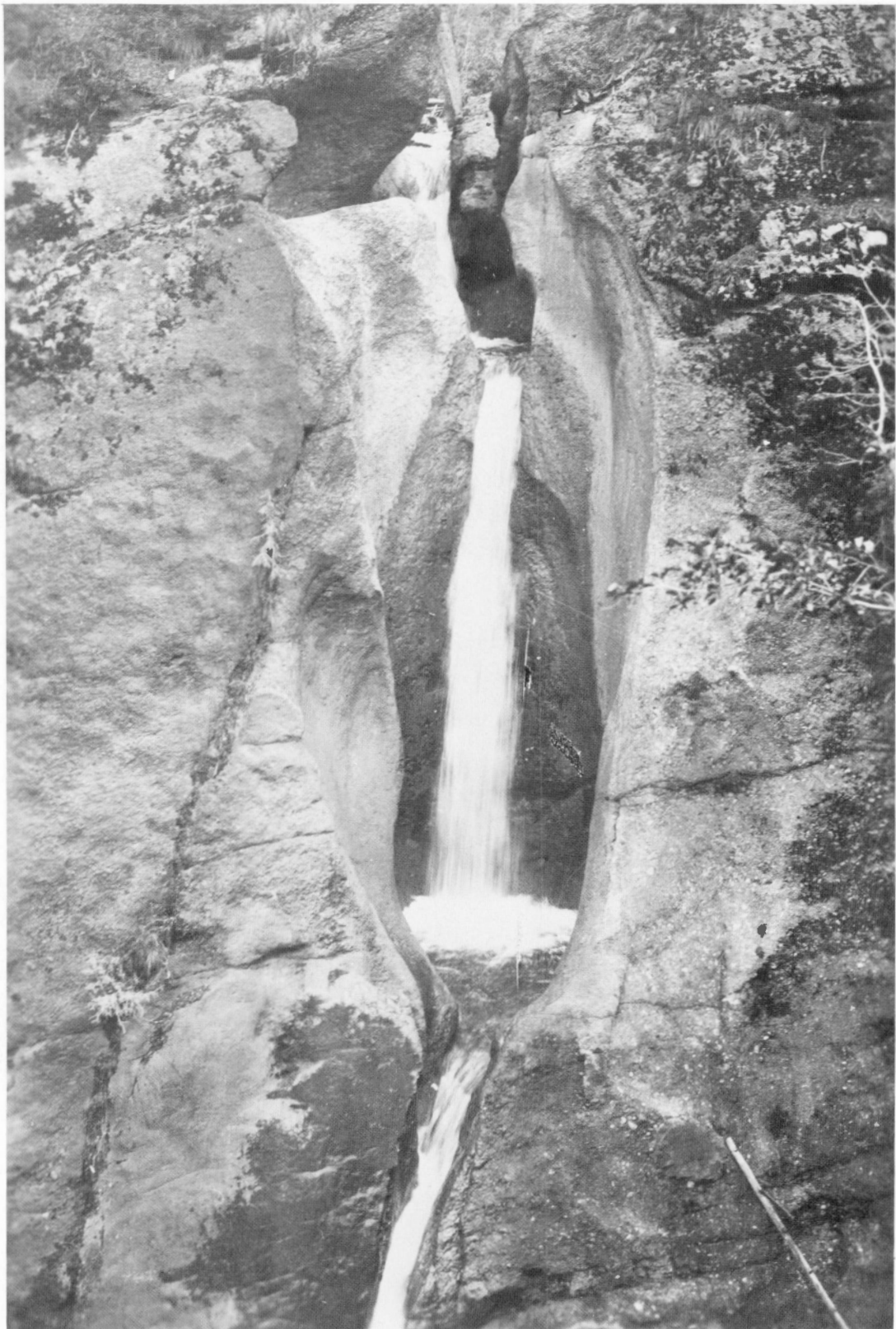
Chute remarquable formée par l'action érosive de la rivière au Foin sur les couches horizontales de calcaire du Dévonien, chute Alexandra (T.N.-O.).



**CORDILLERAN REGION**  
**RÉGION DE LA CORDILLÈRE**







70288

Punch-Bowl Falls, Pocahontas, Jasper Park, Alberta.

Cascade Punch-Bowl, Pocahontas, parc national de Jasper (Alb.).



100910

Crest of Hoff anticline, Palliser Formation in foreground overlain by Banff Formation and Rundle Group (all of Paleozoic age); Mumm Creek, Alberta.

Crête de l'anticlinal Hoff; la formation de Palliser apparaît au bas de la photo, elle est recouverte par la formation de Banff et le groupe de Rundle, tous du Paléozoïque, ruisseau Mumm (Alb.).



122714

Steeply dipping limestone and shales of Banff Formation (Mississippian) overlying Devonian limestones, eastern Rocky Mountains, near Medicine Lake, Jasper National Park, Alberta.

Lits à pendage raide constitués de calcaire et de schistes argileux de la formation de Banff (Mississippien) recouvrant des calcaires du Dévonien. Rocheuses orientales, près du lac Medicine, parc national de Jasper (Alb.).





122914A

Paleozoic strata lying above McConnell thrust fault (located at base of steep slopes on right of Photo); Alberta.

---

Strates du Paléozoïque s'étendant au-dessus de la faille de chevauchement de McConnell (Alb.). Cette faille se situe approximativement à la base des pentes à droite de la photo.



136839

Structures formed by erosion of dolomitized reef rock of Upper Devonian Fairholme Group, Castle Peak, Windsor Mountain, Alberta.

Relief ruiniforme sculpté dans des roches récifales dolomitisées du groupe de Fairholme du Dévonien supérieur, pic Castle, mont Windsor (Alb.).



136876

Folded sequence of coal (black), sandstone, siltstone, and shale of Kootenay Formation: Grassy Mountain, Alberta.

Plis dans des lits de houille (en foncé), de grès, de siltstone et de schiste argileux de la formation de Kootenay, mont Grassy (Alb.).



139530

Contorted beds of the Cretaceous Luscar Formation near the front of an overthrust fault; Sheep Creek, Alberta.

---

Lits contournés de la formation de Luscar du Crétacé près du front d'une faille de chevauchement, ruisseau Sheep (Alb.).





154599

Rock Slide, Hope, B.C.

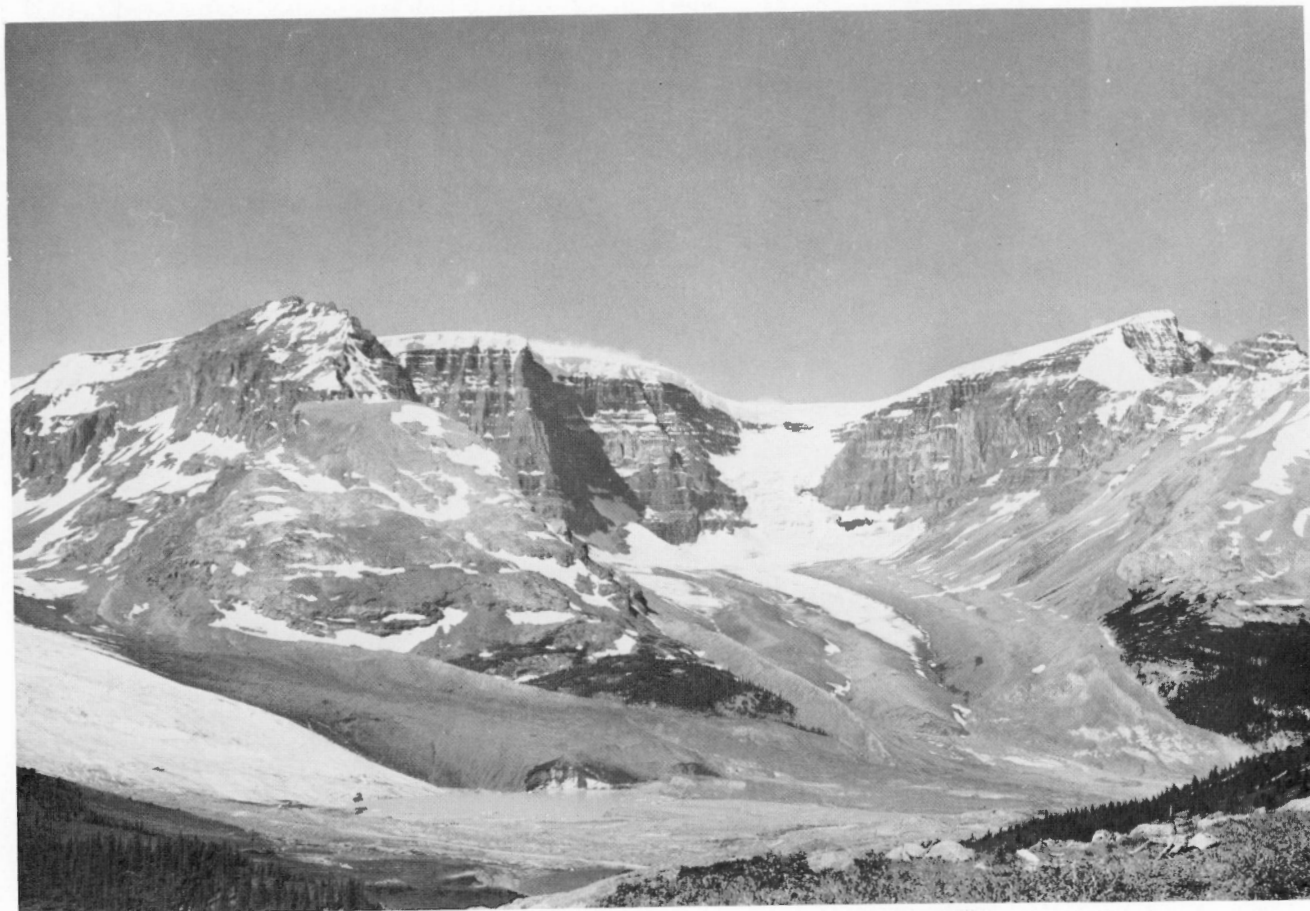
Éboulement, Hope, C.-B.



Frank Slide, Frank, Alberta. On April 29, 1903 about 70 million tons of rock slid down the 1,300-foot-high face of Turtle Mountain, and in 100 seconds 66 people died and the valley, for 2 miles across, was buried under 100 feet of debris.

201903

Éboulement de Frank (Alb.). Cet éboulement catastrophique eût lieu le 29 avril 1903. Il entraîna la mort de 66 personnes. L'éboulement mit en mouvement environ 70 millions de tonnes de roches provenant d'un des flancs très escarpé du mont Turtle d'une hauteur de 1,300 pieds. La couche de débris rocheux s'étend sur plus de 2 milles et atteint par endroits une épaisseur d'environ 100 pieds.



201904

Mount Kitchener and Athabasca Glacier. Massive, nearly horizontal Cambrian strata form part of the Rocky Mountains. Lateral and terminal moraines form at the margin of the ice and great talus slopes shower debris on to the valley floor.

Glaciers, monts Kitchener et Athabasca. Les moraines latérales et terminales à la bordure du glacier se terminant en talus d'éboulis dont les débris jonchent le fond de la vallée. Les éléments structuraux sont constitués par des strates presque horizontales du Cambrien et font partie des Rocheuses.



19115

Alluvial cones; B.C.

---

Excellent exemple de cônes de déjection (C.-B.).





28025

Sea stack of conglomerate; Pillar Bay, Graham Island, B.C.

Pilier littoral formé de conglomérats et coiffé d'une végétation en partie arborescente, baie Pillar, île Graham (C.-B.).



36397

Helmcken Falls, Murtle River. This spectacular 450-foot waterfall is in the north Thompson District, B.C.

---

Chute Helmcken, rivière Murtle. Cette chute spectaculaire, haute de 450 pieds, est située dans la partie nord du district de Thompson (C.-B.).



59102

Cinder cone near Tseaux River, B.C.

---

Cône de scories près de la rivière Tseaux (C.-B.).



74079

Columnar and horizontal jointing in Tertiary lava; view north across Mission Creek between Canyon and Hydraulic creeks, B.C.

Divisions prismatiques et horizontales dans des coulées de lave du Tertiaire, ruisseau Mission entre les ruisseaux Canyon et Hydraulic (C.-B.).





82964

U-shaped, glaciated valley of Leckie Creek; Bridge River area, B.C.

Vallée glaciaire en forme d'auge, ruisseau Leckie, région de la rivière Bridge (C.-B.).



83033

Talus slopes at the head of Juniper Creek, near Hazelton, B.C.

Talus d'éboulis à la source du ruisseau Juniper près d'Hazelton (C.-B.).

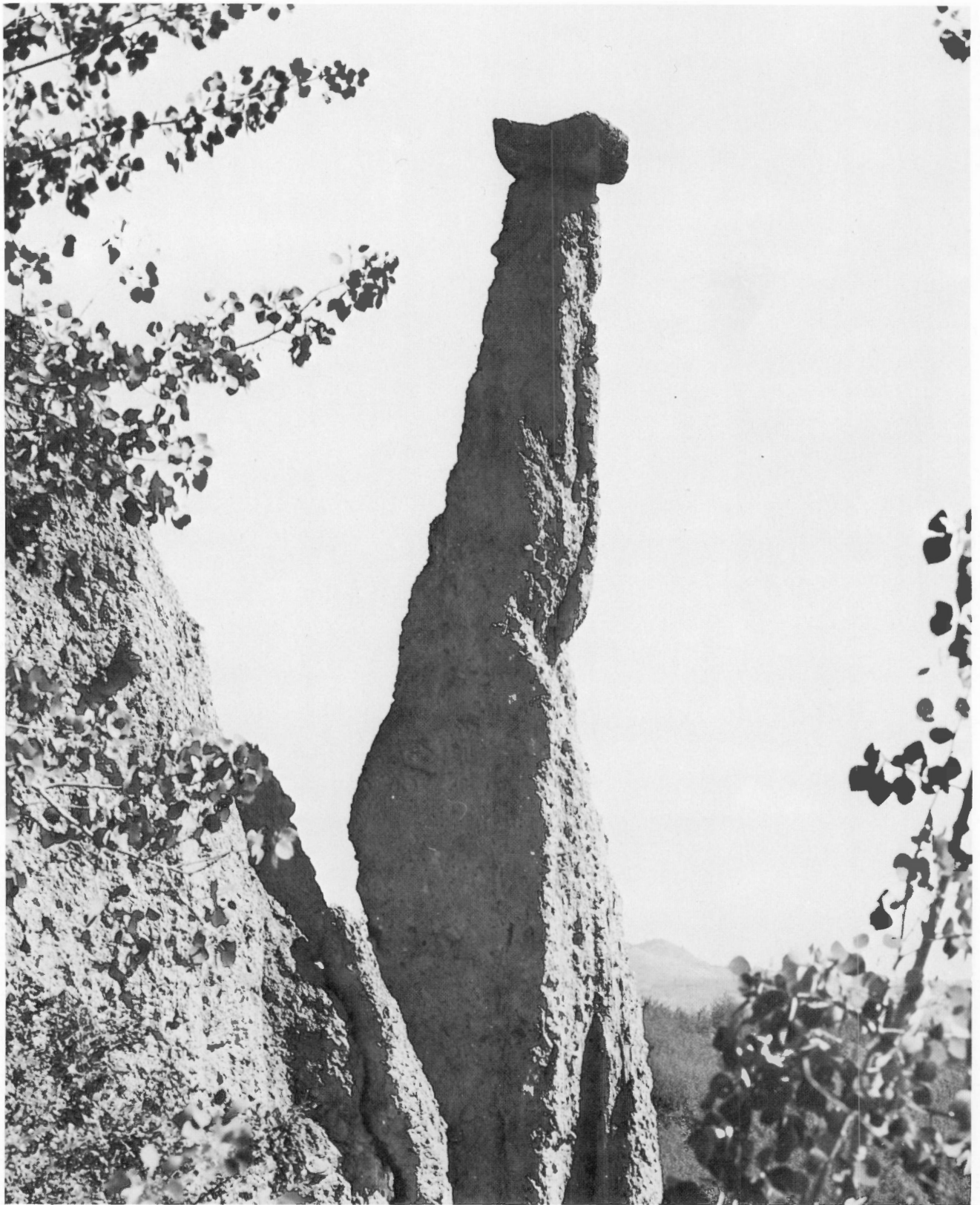


85965

Columnar jointing in basalt; Soda Creek, B.C.

---

Divisions prismatiques dans des basaltes, Soda Creek (C.-B.).

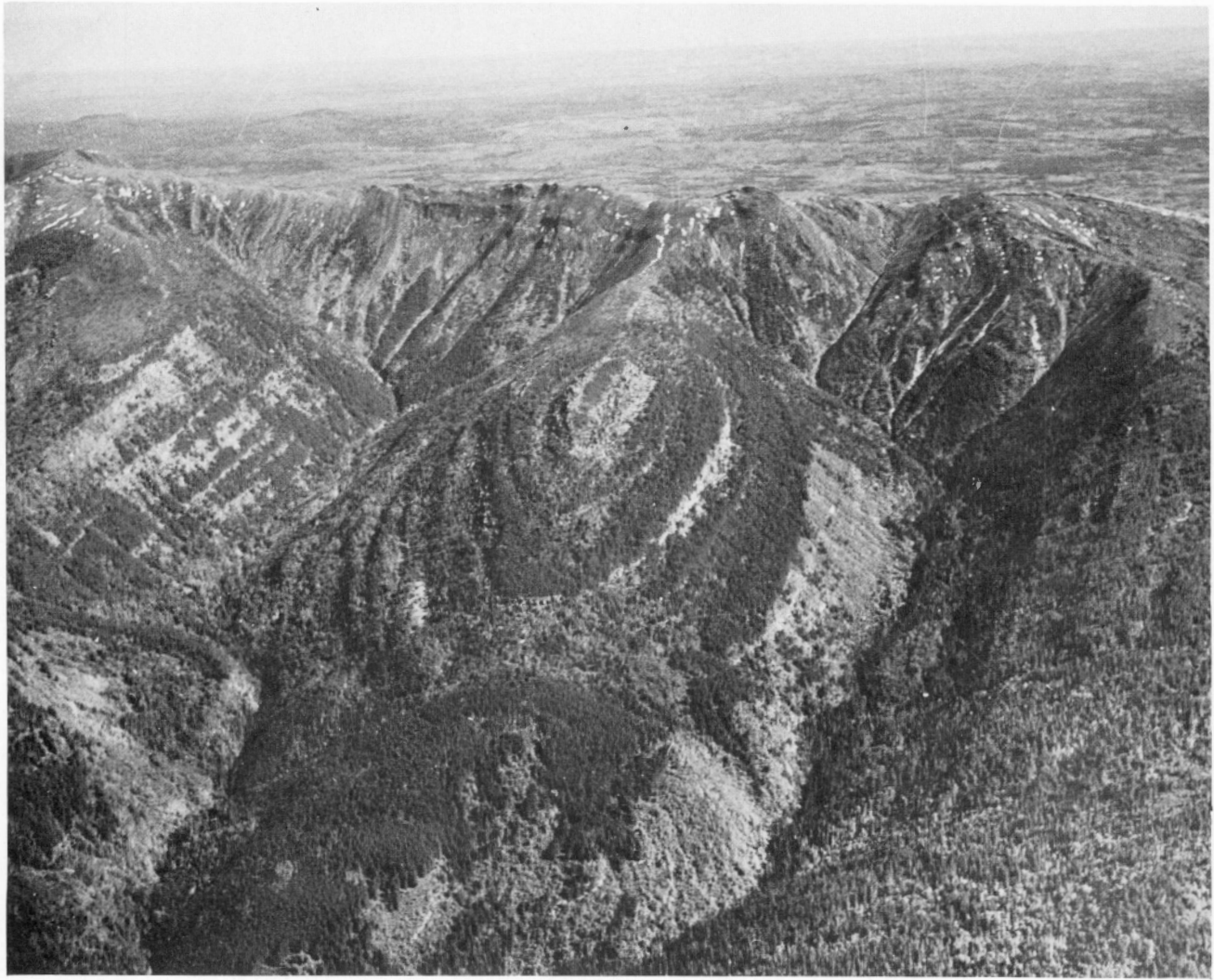


85975

Hoodoo; near Telkwa, B.C.

Cheminée de fées, cette forme singulière est aussi nommée demoiselle coiffée, Telkwa (C.-B.).

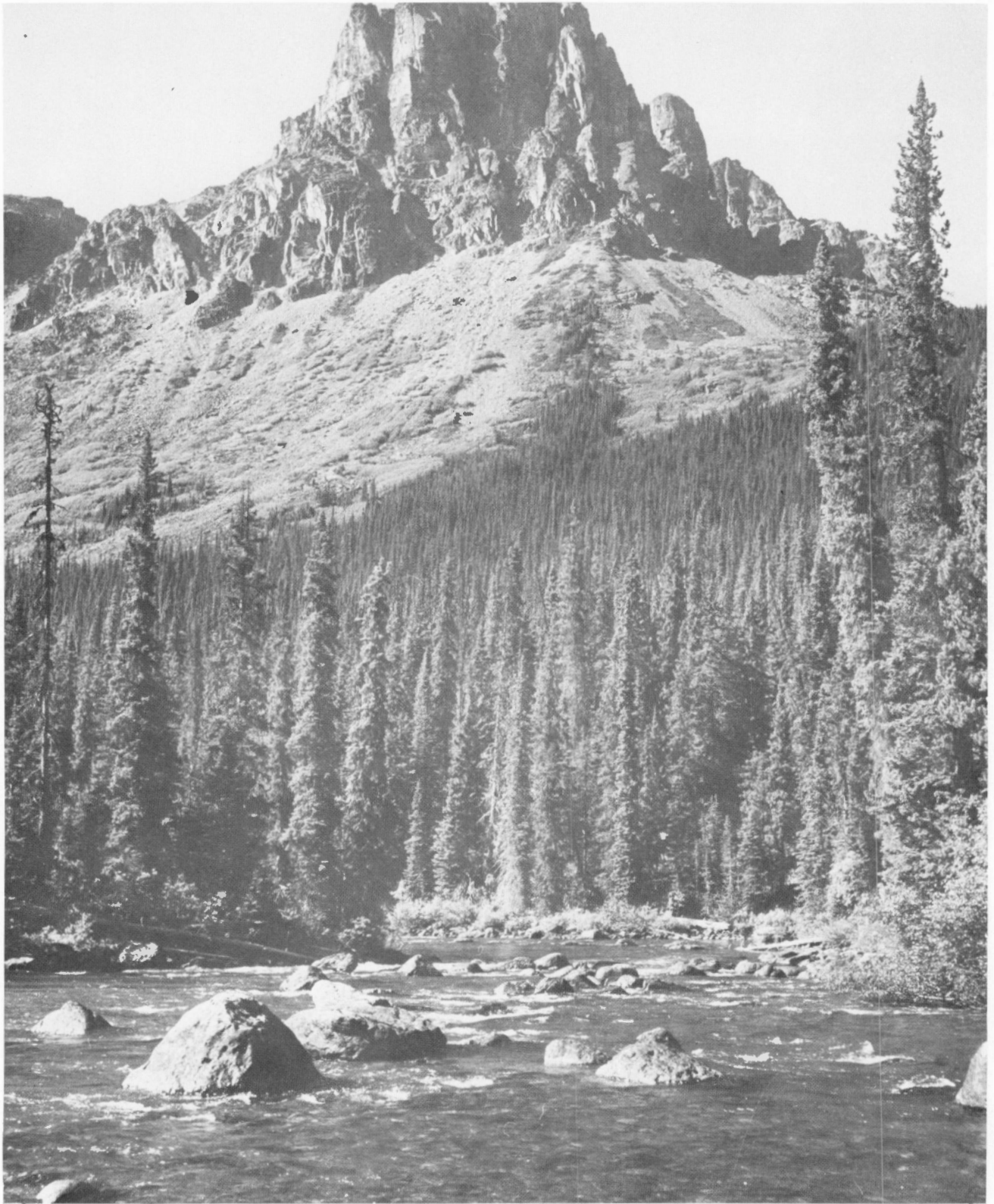




92792

Bedrock structure reflected by vegetation; Butler Range, Cassiar District, B.C.

Mise en évidence de la disposition de la roche en place par la végétation arborescente, chaînon Butler, district des Cassiars (C.-B.).



95151

Sustut Peak, Cassiar District, B.C. This 8,100-foot-high mountain is composed of Mesozoic andesitic and basaltic tuffs and lavas.

Le pic Sustut, haut de 8,100 pieds, est constitué de laves et de tufs andésitiques et basaltiques, tous du Mésozoïque, district des Cassiars (C.-B.).



110803

Conglomerate, Oliver Creek, Terrace area, B.C.

Conglomérats, ruisseau Oliver, région de Terrace (C.-B.).





116563

Features formed at the margin of a melting ice sheet. The valley is filled by glaciolacustrine material, the lower bedrock slopes are covered by hummocks of till and a kame terrace forms the top of the slope. Sheidam Lake east of Kamloops, B.C.

Paysage de marge glaciaire. Comblement de la vallée par des matériaux glacio-lacustres, la partie basse des versants est couverte de till et présente une configuration bosselée. Une terrasse de kame coiffe le sommet des versants. Lac Sheidam à l'est de Kamloops (C.-B.).





116586

Convoluted and other compaction structures in interglacial sediments; Merritt, B.C.

Structures convolutées et autres types de structures dues à un tassement latéral dans des sédiments interglaciaires, Merritt (C.-B.).



118929

Campsite in the mountains, southeastern British Columbia.

Terrain de camping en montagne, sud-est de la Colombie-Britannique.



119768

Agmatite, a fragmented plutonic rock with granitic cement east of Butedale; Coast Mountains, B.C.

Zone d'agmatite constituée de roches plutoniques fragmentées et d'un réseau de veines granitiques à l'est de Butedale, chaîne Côtière (C.-B.).





119788

Contorted veined gneiss, Douglas Channel area, Coast Mountains, British Columbia.

Gneiss à filons contournés, région de Douglas Channel, chaîne Côtière (C.-B.).





119826

Xenolith of schist in a matrix of gneissic quartz diorite; Gardiner Canal, coast of British Columbia.

Enclave de schiste dans une matrice de diorite quartzogneissique, canal Gardiner, côte de la Colombie-Britannique.



144312

Glaciated valley, north fork of Rees Creek, Comox District, Vancouver Island.

Vallée glaciaire, partie nord du ruisseau Rees, district de Comox, île Vancouver (C.-B.).



145960

Unconformity between late Precambrian Tuchodi Formation (quartzite, dolomitic siltstone and varicoloured shale) and Cambro-Ordovician Kechika Group (shale and limestone); Yedle Mountain, B.C.

---

Discordance stratigraphique entre la formation de Tuchodi de la fin du Précambrien (quartzite, siltstone dolomitique et schiste argileux de couleurs variées) et le groupe de Kechika du Cambro-Ordovicien composé de schistes argileux et de calcaires, mont Yedle (C.-B.).

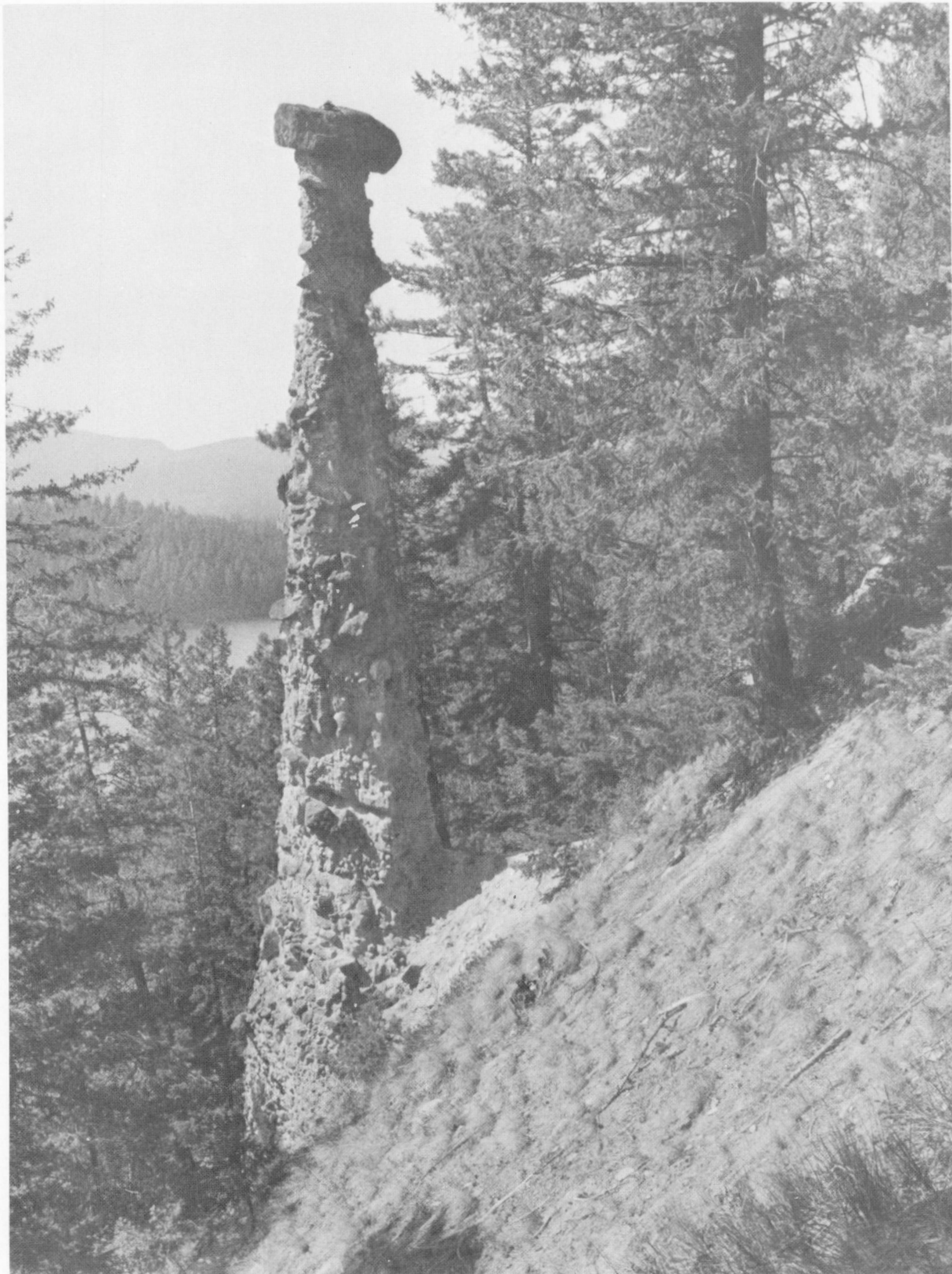


154571

Steeply dipping axial plane cleavage in Cambrian strata near Sullivan River, southern Rocky Mountains, B.C.

Schistosité de pendage raide et parallèle aux plans axiaux dans des couches du Cambrien près de la rivière Sullivan, Rocheuses méridionales (C.-B.).





201710

"The Pillar", a hoodoo at Pink Lake near Falkland, B.C.

Cheminée de fées connue dans cette région sous le nom «The Pillar», lac Pink près de Falkland (C.-B.).



159270

Shuswap Metamorphic Complex, Valhalla Range, southern Selkirk Mountains, B.C.

Complexe métamorphique de Shuswap, chaînon Valhalla, monts Selkirk du Sud (C.-B.).



77799

Yukon River above the junction with the Pelly River. The river valley contains many well timbered islands but the hillsides are relatively barren; Yukon Territory.

Vue sur la rivière Yukon en amont du point de confluence avec la rivière Pelly. La rivière est constellée d'îles densément boisées, par contre, les flancs abrupts de la vallée sont en grande partie dénudés (Yukon).



81589

Five Finger Rapids, Yukon River. Four islands of conglomerate divide the channel and present a navigational hazard; Yukon Territory.

Les rapides Five Finger, rivière Yukon. A cet endroit, la rivière est divisée en chenaux étroits par quatre îles constituées de conglomérats, elles sont un obstacle sérieux à la navigation (Yukon).





95660

A thin layer of volcanic ash covers large areas in southern Yukon Territory. It is thought to have come from a volcano near the intersection of White River and the Alaska-Yukon border which erupted about 1,400 years ago. Lapie River at Mile 132, Alaska Highway.

La photo montre une mince couche de cendre volcanique recouvrant de grandes surfaces dans le sud du Yukon. On est porté à croire que cette couche proviendrait d'un volcan, situé au voisinage du croisement de la rivière White et de la frontière Alaska-Yukon, dont la dernière éruption remonterait à 1,400 ans. Rivière Lapie au mille 132, route de l'Alaska (Yukon).



104192

Braided channel of Yukon River near Dawson, Y.T.

Chenaux entrelacés, rivière Yukon près de Dawson (Yukon).



124896

Tombstone stock, a mid-Cretaceous syenite stock that intrudes a massive quartzite succession; upper Klondike River area, Yukon Territory.

Stock de Tombstone; ce stock est constitué de syénite du Crétacé moyen et pénètre dans une séquence massive de quartzite, haute-vallée de la rivière Klondike (Yukon).





154598

Glacial outwash overlying nonglacial gravels; Stewart River, Yukon.

Dépôts fluvio-glaciaires sur des matériaux graveleux non glaciaires, rivière Stewart (Yukon).





## Index/Index

### A

Adams Sound, Baffin Island	80
Admiralty Inlet, Baffin Island	79
Agmatite	160
Alexandra Falls, N.W.T.	131
Algal growth	107
Alluvial cones	145
Amqui, Quebec	27
Anticline	136
Anticosti Island	28, 29
Arctic Ocean	108
Ash, volcanic	170
Asbestos, veins	23

### B

Badlands	117, 121, 130
Bad Cache Rapids Group	39
Baie d'Espoir Group	12
Baie d'Espoir, Newfoundland	12, 14
Banff Formation	136, 137
Banks Island, N.W.T.	104
Basalt	22, 80, 81, 152
Bathurst Island, N.W.T.	105
Beach, raised	46, 97, 101
Belleoram, Newfoundland	13
Bjorne Peninsula, Ellesmere Island	112
Blaa Mountain Formation	106
Blackstone Formation	128
Blairmore Group	127
Bonaventure Island, Quebec	24
Boudinage (structure)	54
Brazeau Formation	122
Breccia	9
Brislane Lake, N.W.T.	69
Brodeur Peninsula, Baffin Island	97
Butterfly Lake, Manitoba	58

### C

Campsite	159
Canyon	28, 29, 31
Cape Blomidon, N.S.	19
Cape Split, N.S.	16
Churchill Falls, Labrador	43
Clark Fiord, Baffin Island	84
Clay, Pleistocene	30
– varved	36
Cleavage	165
Cliffs	14, 19, 22, 79, 81, 84, 86, 87, 88, 93, 115
Coal	111, 140
Coast Mountains	161, 162
Cones; alluvial	145
– cinder	148
– talus	79, 88
Conglomerate	20, 146, 156
– Precambrian	47, 82
Coronation Glacier	89
Cross Lake, Manitoba	56, 59
Crossbedding	122
Cuesta	37
Cypress Hills	118, 119

### D

Décollement	7
Dendritic drainage	73

### A

Agmatite	160
Amiante, filon d'	23
Andésite, coulée en boules d'	50
Anticlinal	136
Anticosti, île d', Québec	28, 29
Antigouish-Mabou, bassin, Nouvelle-Écosse	20
Arche	16
Ardoise	4
Argile marine	30
Arkose	5
Athabasca, lac, Saskatchewan	61

### B

Badlands	117, 121, 130
Baffin, île,	76, 85
Baie d'Espoir, groupe de	12
Banks, île, T.N.-O.	104
Basalte prismatique	22
Bathurst, île, T.N.-O.	105
Belleoram, Terre-Neuve	13
Bloc erratique	6, 67, 129
– faillé basculé	80
Bonaventure, île, Québec	24
Boothia, presque île de, T.N.-O.	100
Borden, péninsule, île Baffin	99
Boulder perché	84
Brèche	9

### C

Calcaire	9, 28, 29, 33, 34
Calotte glaciaire	93
Canyon	28, 31
Cap Blomidon, Nouvelle-Écosse	19
Cap Split, Nouvelle-Écosse	16
Cascade Punch-Bowl	135
Cendre volcanique	170
Cheminée de fées	95, 112, 153, 166
Chenaux entrelacés	171
Chicotte, formation de	28
Churchill, chutes, Labrador	43
Churchill, rivière, Manitoba	39
Chute, rivière Yellowknife	65
– Alexandra	131
– Helmcken	147
Coal Point, Île-du-Cap-Breton, Nouvelle-Écosse	17
Coleraine, Québec	25
Cône de déjection	145
– de scories	148
Configuration circulaire	100
Conglomérat	82, 56
Coquillage	101
Coulée basaltique	81
Couronnement, glacier du, île Baffin	89
Cuesta	37
Cyprés, collines du	118, 119

### D

Décollement	7
Dépôt fluvio-glaciaire	173
Discordance angulaire	20, 39
– stratigraphique	164
Division prismatique	102, 152
– horizontale	149

**D (cont'd)**

Diabase	51, 104
Dolomite	31, 52, 68
Drainage pattern	73, 76, 171
Drumlin	123
Dubawnt Group	62
Dune	116
Dyke, pegmatitic	48, 60
– basalt	49
– diabase	51
– lamprophyre	56

**E**

Elwin Ice Cap	78
Epworth Group	68
Eqalulik River, Baffin Island	81
Erosion, marine	16
– coastal	115
– features	139
Erratic, glacial	6, 67, 129
Esker	38, 66

**F**

Fairholme Group	139
Falls, on Yellowknife River	65
– Alexandra	131
– Punch-Bowl	135
– Helmcken	147
Fault	80, 94, 141
Five Finger Rapids	169
Flat Rock, Newfoundland	5
Floodplain	99
Flowerpots	34
Flowerpot Island, Ontario	34
Folds	11, 12, 52, 53, 57, 140, 141
Fossil tree	17, 120
Frank Slide	142
Frost boil	100

**G**

Gabbro	106
Gallery Formation	95
Glacial erratic	6, 67, 129
Glacial outwash	173
Glacial striae	51
Glacier	78, 85, 89, 98, 110, 144
Gneiss	87, 88, 161
Gordon Lake, N.W.T.	64
Grand Bruit, Newfoundland	6
Grand Manan Island, N.B.	22
Grand River, Ontario	31
Granitic rocks	13, 14, 15, 39, 76
Grant Land Mountains	109, 110
Green Point, Newfoundland	9
Green Point Formation	9
Grenville Group	53
Greywacke	53

**H**

Hall Upland	76
Hazen Plateau	110
Hills, rounded	15
Hoodoos	95, 112, 153, 166
Hopewell, N.B.	21
Humber Arm Group	11

**I**

Icy Arm, Baffin Island	86
Iceberg	77
Ice cap	78, 93

**D (fin)**

Drainage dendritique	73
Drumlin	123
Dune vive	116
Dyke de pegmatite	48, 60
– de basalte	49
– de diabase	51
– de lamprophyre	56

**E**

Éboulement	142
Elwin, calotte (glaciaire)	78
Enclave de schiste	162
Escarpeement	81, 84, 86, 88, 93, 115
Esker	38, 66
Espoir, baie d', Terre-Neuve	12, 14

**F**

Faïlle	94
Falaise	19
Feilden, péninsule, île Ellesmere, T.N.-O.	108
Fente de dessiccation	32, 35
Fiord Inugsuin, île Baffin,	83, 93
– Tingin	94
Flat Rock, Terre-Neuve	5
Flowerpot, île, Ontario	34
Formation ferrière	57
Fossile, tronc d'arbre	17, 100

**G**

Glacier	144
Glissement de terrain	30
Gneiss	87, 88
– granitique	39
– à filons contournés	161
Grand Bruit, Terre-Neuve	6
Grand-Manan, île, Nouveau-Brunswick	22
Grande Rivière, Ontario	31
Granodiorite porphyritique	55
Grant Land, monts, île Ellesmere, T.N.-O.	109
Green Point, formation de	9
Grès	8
Guelph, formation de	31

**H**

Hall, bas-plateau de, T.N.-O.	76
Hermitage, baie de l', Terre-Neuve	15
Hopewell, Nouveau-Brunswick	21
Humber Arm, groupe d'	7

**I**

Iceberg	77
---------	----

**J**

Jackson, inlet, île Baffin	97
Joint	5, 8

**K**

Kettle	27
Keewatin, district de, T.N.-O.	62

**L**

Lancaster, plateau, île Baffin	96
Langue glaciaire	85
Lave en forme de coussins (structure)	10, 44, 45, 64, 69
Lit entrecroisé	122
– contourné	141

**M**

Mackenzie, district de, T.N.-O.	63, 64, 65
Madoc, Ontario	32
Manitoulin, île, Ontario	37

**I (cont'd)**

Inugsuin Fiord, Baffin Island . . . . . 83, 93  
 Iron formation . . . . . 54, 57

**J**

Joints . . . . . 5, 8  
 – columnar . . . . . 22, 102, 149, 152  
 – horizontal . . . . . 149

**K**

Kames . . . . . 157  
 Kechika Group . . . . . 164  
 Kettle . . . . . 27  
 Kootenay Formation . . . . . 140

**L**

Lake Athabasca . . . . . 61  
 Lancaster Plateau . . . . . 96  
 Landslide . . . . . 30, 142  
 Lava flows . . . . . 44, 45, 69, 149  
 Limestone . . . . . 28, 29, 33, 34, 37, 39, 53, 115, 131, 137  
 Luscar Formation . . . . . 141

**M**

Manitoulin Island, Ontario . . . . . 37  
 Marine shells . . . . . 101  
 Matapedia Valley . . . . . 27  
 Melville Island Formation . . . . . 103  
 Moraine marginal . . . . . 89  
 – medial . . . . . 89  
 – lateral . . . . . 96, 98, 144  
 – terminal . . . . . 144  
 Mount Asgard (Baffin Island) . . . . . 90, 91  
 Mount Kitchener . . . . . 144  
 Mountains Baffin Island . . . . . 91, 92  
 – Ellesmere Island . . . . . 109, 110  
 Mudcracks . . . . . 32, 35

**N**

Navy Board Inlet, Baffin Island . . . . . 98  
 Neutral Hills, Alberta . . . . . 124

**O**

Outwash, glacial . . . . . 173

**P**

Painted Bluffs, B.C. . . . . 130  
 Palliser Formation . . . . . 136  
 Pavement, limestone . . . . . 33  
 Pegmatite dyke . . . . . 48  
 Pelly Bay, N.W.T. . . . . 73  
 Percé Rock, Quebec . . . . . 24  
 Perched boulder . . . . . 84  
 Peridotite . . . . . 23  
 Piling Group . . . . . 94  
 Pillow (structure) . . . . . 10, 44, 45, 64, 69  
 Pingo . . . . . 74, 99  
 Plateau . . . . . 96, 97, 110  
 Plunge pool . . . . . 62  
 Point Lake, Manitoba . . . . . 60  
 Polygonal ground . . . . . 75, 105  
 Porcupine Hills, Alberta . . . . . 125  
 Port au Port, Newfoundland . . . . . 11  
 Pothole . . . . . 63

**Q**

Quartzite . . . . . 80, 81

**R**

Raised beach . . . . . 46, 97, 101  
 Reef . . . . . 103  
 Richard's Harbour, Newfoundland . . . . . 15

**M (fin)**

Marge glaciaire . . . . . 157  
 Mariposa, canton, Ontario . . . . . 38  
 Marmite de géant . . . . . 63  
 Matapédia, Québec . . . . . 27  
 Mercy, baie, T.N.-O. . . . . 103  
 Mont Asgard, île Baffin . . . . . 90, 91  
 – Odin " " . . . . . 92  
 Moraine médiane . . . . . 89  
 – latérale . . . . . 89, 96, 98, 144  
 – terminale . . . . . 144

**N**

Navy Board, inlet, île Baffin . . . . . 98  
 Neutral, collines . . . . . 124

**P**

Painted Bluffs, Colombie-Britannique . . . . . 130  
 Percé, Québec . . . . . 24  
 Péridotite . . . . . 23  
 Pic Thor, île Baffin . . . . . 92  
 – Tirokwa " " . . . . . 92  
 Pilier . . . . . 21, 34, 146  
 Pingo . . . . . 74  
 – à sommet ébréché . . . . . 99  
 Plage . . . . . 19  
 – soulevée (émergée) . . . . . 46, 97, 101  
 Pli . . . . . 11, 53, 140  
 Pointe Green, Terre-Neuve . . . . . 9  
 Polygone de toundra . . . . . 75  
 – à centre déprimé . . . . . 105  
 Porcupine, collines de . . . . . 125  
 Port-au-Port, Terre-Neuve . . . . . 11

**R**

Récif d'algues . . . . . 107  
 Relief ruiniforme . . . . . 139  
 Richard's Harbour, Terre-Neuve . . . . . 15  
 Ride . . . . . 128  
 Rocher Percé . . . . . 24  
 Roche granitique . . . . . 13, 14, 15  
 – conglomératique . . . . . 47  
 – moutonnée . . . . . 61  
 – récifale . . . . . 103

**S**

Saint-Jean-Vianney, Québec . . . . . 30  
 Schiste argileux . . . . . 6, 9, 11, 106  
 Schistosité . . . . . 165  
 Serpentine . . . . . 23  
 Shuswap, complexe métamorphique . . . . . 167  
*Sigillaria* (tronc fossile) . . . . . 17  
 Signal Hill, formation de . . . . . 5  
 Sill gabbroïque . . . . . 102  
 – de diabase . . . . . 104  
 Siltstone . . . . . 4  
 Stock . . . . . 172  
 Strate . . . . . 138  
 – verticale . . . . . 127  
 Strie glaciaire . . . . . 51  
 Stromatolithe . . . . . 68  
 Structure en boudin . . . . . 54  
 – convolutive . . . . . 158  
 Synclinal . . . . . 4

**T**

Talus d'éboulis . . . . . 14, 79, 84, 88, 144, 151  
 Thom, baie, prèsqu'île de Boothia, T.N.-O. . . . . 101  
 Topsail Head, Terre-Neuve . . . . . 3  
 Trinité, baie de la, Terre-Neuve, . . . . . 4, 10



**R (cont'd)**

Ripple marks	128
Roches Moutonnées	61
Rock fall	14
Rundle Group	136

**S**

St-Jean Vianney, Quebec	30
Sam Ford Fiord, Baffin Island	87, 88
Sandstone	8, 102, 112, 128, 140
Sea ice	97
Selkirk Mountains	167
Serpentine	23
Shale	7, 9, 11, 106, 117, 140
Shells, marine	101
<i>Sigillaria</i> (fossil tree)	17
Sill, gabbro	102
— diabase	104
Siltstone	4, 140
Slates	4, 12
Soda Creek, B.C.	152
South Saskatchewan River	117
Spheroidal structure	50
Sphinx, The	21
Stacks	16, 146
Stock, Syenite	172
Strata, steeply dipping	137
— vertical	127
— Paleozoic	138
Strathcona Sound Formation	82
Striae, glacial	51
Stromatolites	68
Sustut Peak	155
Syncline	4

**T**

Talus cones	79, 88
— slopes	84, 144, 151
Till	117, 157
Tingin Fiord, Baffin Island	94
Topsail Head, Newfoundland	3
Trinity Bay, Newfoundland	4, 10
Tuchodi Formation	164
Tunnel, natural	18
Turtle Mountain	142

**U**

U-shaped Valley	150
Unconformity	20, 39, 164

**V**

Varved clay	36
Vauréal Formation	29
Vertical strata	127
Victoria Island, N.W.T.	102
Volcanic ash	170

**W**

Waterfall	65, 131, 135, 147
Windsor and Horton Groups	20

**X**

Xenoliths	162
-----------	-----

**Y**

Yellowknife River	65
Yellowknife Supergroup	64
Yukon River	168, 169, 171

**T (fin)**

Truro, Nouvelle-Écosse	18
Tunnel naturel	18

**V**

Vallée glaciaire	163
— en forme d'auge	150
Vauréal, formation de	29
Varve	36
Victoria, île, T.N.-O.	102

**W**

Windsor et Horton, groupes de	20
-------------------------------	----

**Y**

Yukon, rivière	168, 169
----------------	----------